# МИНИСТЕРСТВО ОБРАЗОВАНИЯ И НАУКИ РОССИЙСКОЙ ФЕДЕРАЦИИ

федеральное государственное бюджетное образовательное учреждение высшего образования

### «Тольяттинский государственный университет»

#### Институт машиностроения

(наименование института полностью)

#### Кафедра «Проектирование и эксплуатация автомобилей»

(наименование кафедры)

#### 23.05.01 «Наземные транспортно-технологические средства»

(код и наименование направления подготовки, специальности)

Автомобили и тракторы

(направленность (профиль/специализация)

# ДИПЛОМНЫЙ ПРОЕКТ

на тему Адаптация сило	вой установки автомобиля «Сержа	ант» для
работы на газовом топливе		
pado Ibi ila Tasobolii Tollilibe		
· · · · · · · · · · · · · · · · · · ·	Е А. Плотомор	
	Е.А. Платонов	
	(И.О. Фамилия)	(личная подпись)
уководитель	И.В. Турбин	
	( И.О. Фамилия)	(личная подпись)
онсультанты	И.В. Краснопевцева	
<u></u>	(И.О. Фамилия)	(личная подпись)
	А.Н. Москалюк	
	(И.О. Фамилия)	(личная подпись)
	С.А. Гудкова	
	(И.О. Фамилия)	(личная подпись)
	А.Г. Егоров	
	(И.О. Фамилия)	(личная подпись)
опустить к защите		
І.о. заведующего кафедрой	к.т.н., доцент А.В. Бобровский	
	(ученая степень, звание, И.О. Фамилия)	(личная подпись)
2010		

# **КИЦАТОННА**

Пояснительная записка включает в себя 101 страниц, 14 рисунков, 17 таблиц.

Ключевые слова: СИЛОВОЙ АГРЕГАТ, ПРИРОДНЫЙ ГАЗ, СИСТЕМА ПИТАНИЯ, ЭКОНОМИЧНОСТЬ, ТОКСИЧНОСТЬ, АВТОМОБИЛЬ

Целью данного дипломного проекта является адаптация автомобиля для работы силовой установки по газодизельному циклу.

Дипломный проект состоит из пояснительной записки и графической части.

Задачей данной работы являлось представить преимущества при использовании в автомобиле природного газа.

Пояснительная записка состоит из расчетной части, исследования достигнутого уровня вида техники, экономической части, безопасность и экологичность проекта.

Расчетная часть включает в себя оценочные расчеты системы питания силового агрегата природным газом. Проведены тепловой и тяговый расчеты, а также расчеты основных деталей и систем рассматриваемого автомобиля.

#### ABSTRACT

The explanatory memorandum includes 101 pages, 14 figures, 17 tables.

Keywords: POWER UNIT, NATURAL GAS, POWER SYSTEM, ECONOMICS, TOXICITY, CAR

The purpose of this graduation project is to adapt the car for the operation of the power plant on the gas-diesel cycle.

The graduation project consists of an explanatory note and a graphic part.

The task of this paper was to present advantages when using natural gas in a car.

The explanatory note consists of the calculation part, the research of the achieved level of the type of equipment, the economic part, safety and environmental friendliness of the project.

The calculation part includes estimated calculations of the power system of the power unit with natural gas. Thermal and traction calculations, as well as calculations of the main parts and systems of the vehicle in question, were carried out.

# Условные обозначения и сокращения

СНГ – сжиженный нефтяной газ пропан-бутан;

КПГ – компримированный природный газ метан;

СПГ – сжиженный природный газ метан;

ЭБУ - электронный блок управления;

ЭСУД – электрическая система управления силовым агрегатом (двигателем);

КПД – коэффициент полезного действия;

ТНВД – топливный насос высокого давления.

# Содержание

	Введ	ение	7		
1	Сост	остояние вопроса			
	1.1	Характеристики альтернативных топлив	10		
	1.2	Альтернативные топлива, имеющие наиважнейшее			
		значение	15		
2	Иссл	едование достигнутого уровня техники силового агрегата			
	для р	работы на природном газе	18		
3	Расч	ет газового дизеля	30		
	3.1	Тепловой расчет (по методике Гринивецкого-Мазинга)	30		
		газодизельного цикла			
	3.2	Построение индикаторной диаграммы	42		
	3.3	Внешняя скоростная характеристика двигателя	43		
	3.4	Тяговый расчет автомобиля	45		
4	Спец	циальная часть	48		
	4.1	Система для регулировки подачи топлива общепринятая	48		
	4.2	Разработанная система регулирования подачи топлива	48		
	4.3	Расчет форсунки	50		
	4.4	Техническое описание установки системы CNG	53		
	4.5	Анализ влияния CNG на элементы конструкции			
		автомобиля в целом	59		
5	Безо	пасность и экологичность проекта	60		
	5.1	Оценка профессиональных угроз здоровью	62		
	5.2	Технические средства для обеспечения ПБ	63		
	5.3	Обеспечение природоохранной безопасности			
		рассматриваемой зоны (участка, отделения) предприятия	66		
6	Экон	омическая эффективность проекта	69		
	6.1	Расчет себестоимости проектируемого силового агрегата	69		

6.2	Анализ порога безубыточности	76
6.3	Расчет коммерческой эффективности проекта	77
6.4	Расчет общественной эффективности проекта	78
6.5	Выводы и анализ полученных экономических	
	показателей	83
Заклі	очение	85
Спис	ок используемых источников	86
Прил	южение А	88

# ВВЕДЕНИЕ

Весь Мир занят решением экологических проблем больших и малых городов от вредных выбросов производимых автотранспортом. Российская Федерация находится в лидерах, опережая многие мировые страны по выбрасываемых атмосферу количеству В ядовитых производных автомобилей. По данным Мчскомприроды, на каждого москвича выбросы автотранспорта загрязняющих веществ ежегодно составляют по 120 кг. Количество автомобилей в Москве увеличивается и приближается к 3-ем миллионам, отсюда не сложно рассчитать экологический ущерб от сгорания 1 880 тыс. рублей. Альтернативный вид топлива, тонны топлива, он равен применяемы в автомобилях, газ. Его выбросы не наносят существенного вреда окружающей среде.

Произвести перевод автомобиля на газовое топливо – наилучший способ с минимальными изменениями сделать его безвредным для экологии. Автомобили, которые загрязняют атмосферу, отравляют людей и весь животный мир, не имеют право находится на дорогах страны.

В последнее время производители авто-комплектующих, непосредственно работающие с альтернативными топливными системами, создали абсолютно новые конструкции устройств, которые работают на компримированном или сжиженном природном газе - метане (КПГ СПГ) и сжиженном нефтяном пропан-бутане (СНГ).

Такие современные газотопливные системы питания, выбирая газ, как экологически чистое топливо значительно снижают вредные выбросы автомобилей, а также применяя специальные устройства, позволяющие дожигать продукты неполного сгорания топлива, снижают экологический ущерб.

Таким образом, целью работы является адаптация транспортного средства для работы на CNG. В качестве транспортного средства выступает каркасно-модульный автомобиль «СЕРЖАНТ». Задачей проекта являлось:

- техническое обоснование эффективности применения на дизельном автомобиле CNG. Подтверждение расчетами;
- анализ влияния применения CNG на элементы конструкции автомобиля (в частности трансмиссию, силовой агрегат, КПП);
  - анализ базовых требований к установке ГБО на автомобиль.

На рисунке 1 представлена структура автомобиля «СЕРЖАНТ». Разработанная структура каркаса кузова может быть упакована подетально вместе со всем комплектом узлов и агрегатов.

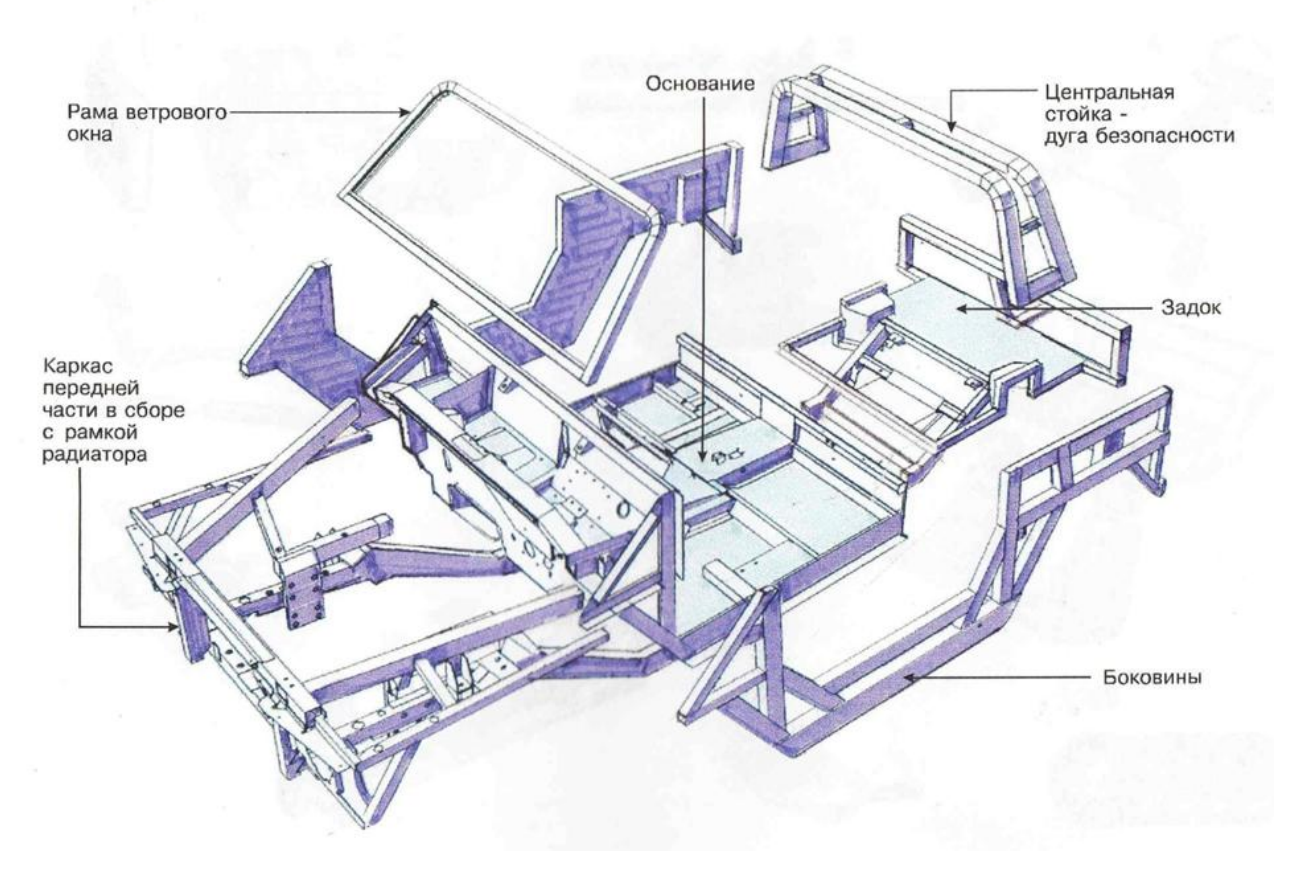


Рисунок 1 – Структура автомобиля «СЕРЖАНТ»

Автомобиль «СЕРЖАНТ» комплектуется серийными деталями. На рисунке 2 представлены комплектующие серийного производства для автомобиля «СЕРЖАНТ».

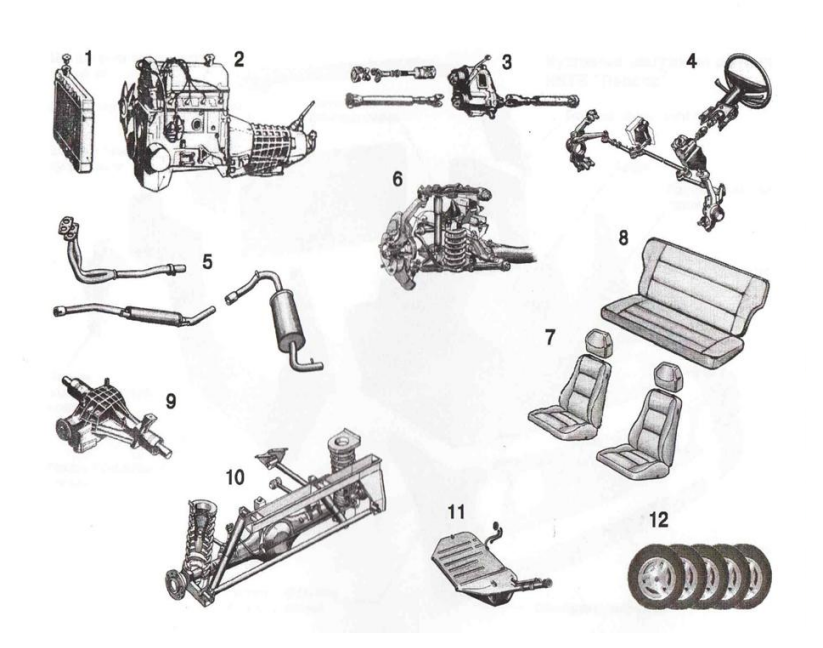


Рисунок 2 — Комплектующие серийного производства для автомобиля «СЕРЖАНТ»

Все детали используемы на автомобиле имеют сертификат качества:

- 1. Радиатор;
- 2. Силовой агрегат в сборе с коробкой передач;
- 3. Раздаточная коробка с карданными валами;
- 4. Рулевой механизм в сборе;
- 5. Дополнительный и основной глушители;
- 6. Передняя подвеска;
- 7. Переднее сиденье;
- 8. Заднее сиденье;
- 9. Привод передних колес;
- 10. Задняя подвеска с мостом;
- 11. Топливный бак;
- 12. Колеса в сборе.

# 1 Состояние вопроса

#### 1.1 Характеристики альтернативных топлив

Альтернативными топливами называют топлива, которые не являются продуктами после переработки нефти. Применяются для заправки автомобилей, за исключением дизельного топлива и бензина. Иногда модифицированные топлива: дизельное топливо и бензин называют альтернативным топливом. Группа альтернативных топлив представлена в таблице 1.1.

Таблица 1.1 - Группа альтернативных топлив

1. Альтернативные источники энергии				
Природный газ (метан)	CH <sub>4</sub>			
Пропан	$C_3H_8$			
Бутан	$C_4H_{10}$			
Метанол	CH₃OH			
Этанол	C <sub>2</sub> H <sub>5</sub> OH			
Водород	$H_2$			
Диметил-эфир	CH <sub>3</sub> OCH <sub>3</sub>			
Электрическая энергия				
2. Производные нефти				
3. Модифицированный бензин				
4. Модифицированное дизельное топливо				

Любое альтернативное топливо имеет как недостатки, так и преимущества, важными среди которых считаются:

- издержки производства;
- доступность для потребителя;
- влияние выбросов на окружающую среду;
- приспособление силового агрегата к питанию новым топливом;
- одобрение потребителем;
- безопасность использования.

Например, этанол очень широко применяется, как смесь состоящая из 90% объемной доли бензина и 10% этанола. Также этанол и природный газ хорошо приняты потребителями. В свою очередь водород считается наиболее "чистым топливом" и до сих пор не является достаточно распространенным, потому отсутствуют применяемые технические решения что ДЛЯ использования. Это, в частности, касается решений по размещению водорода на борту автомобиля. Нерешенной технической задачей является также получение водорода в промышленных масштабах при достаточно малых затратах. Ряд существующих технологий получения водорода основывается использовании нефти в качестве исходного сырья. Эта ситуация лишает смысла применение водорода в качестве моторного топлива; смысл появится в том случае, если будут найдены экономичные способы получения водорода из воды возобновляемых или на основе использования источников энергии. Электрический привод считается одним из чистых источников энергии, применяемым в средствах транспорта, однако цены электромобилей намного выше, чем цены автомобилей, заправляемых обычными топливами.

Следует иметь также в виду, что при рассмотрении вредных выбросов за весь цикл применения водорода, включая составляющую цикла по выработке электроэнергии, используемой при электролизе воды, привлекательность применения водорода в значительной мере теряется. Только в случае работы электростанций на природном газе, а не на угле, привлекательность водорода в качестве "чистого" топлива оказывается вне сомнения. Следует при этом также иметь в виду, что установленные мощности силового агрегата на автомобилях на порядок превосходят мощности электрических станций, работающих на различных топливах. Применение модифицированных бензинов в значительной степени снижает уровень эмиссии токсических компонентов отработавших газов и дает соизмеримые эффекты в охране окружающей среды по сравнению со стандартным бензином.

По сравнению с бензином и дизельным топливом альтернативные топлива имеют три преимущества, которые представлены в таблице 1.2.

Таблица 1.2 - Основные критерии оценки альтернативных топлив

No	Критерии	Определение зависимости
1.	Эмиссия - смог	Уменьшается эмиссия токсических компонентов отработавших
		газов
2.	Энергетическая	Производство топлива из собственных сельскохозяйственных
	независимость	продуктов и ископаемых ресурсов
3.	Эксплуатационные	Некоторые альтернативные топлива обеспечивают низкие
	издержки	эксплуатационные издержки автомобильного транспорта

#### Поэтому, во-первых:

• собственное сырье для производства альтернативных топлив делает данное государство энергетически независимым от импортной нефти и не зависит от политических проблем (отсутствие дипломатических отношений, военное положение и т.п.). Природный метан можно получить из природного газа или органических материалов, таких как: уголь, сельскохозяйственные отходы, мусор и т.п. Этанол - из сельскохозяйственных продуктов: картофеля, сахарной свеклы, сахарного тростника.

Растительные топлива и их сложные эфиры можно получить из семян сои, рапса, подсолнечника, льна, плодов кокосовой пальмы.

Электрическую энергию получают после преобразования тепловой энергии, полученной в результате сгорания угля, природного газа, нефтяных продуктов. Электрическую энергию производят также на гидроэлектростанциях, ветровых и атомных электростанциях.

Водород можно получить из воды в результате ее электролиза, а также из других углеводородных топлив и биомассы.

#### Во-вторых:

• альтернативные топлива снижают эмиссию вредных веществ, выбрасываемых в атмосферу с продуктами сгорания. Это относится ко всем альтернативным топливам.

На рисунке 1.1 представлены молекулярные структуры нескольких топлив. Следует отметить, что молекулы метана (из природного газа), пропанбутана (bPO), метанола и этанола по своей структуре более простые по сравнению с другими, представленными на рисунке. Остальные молекулы являются типичными сопутствующими бензина.

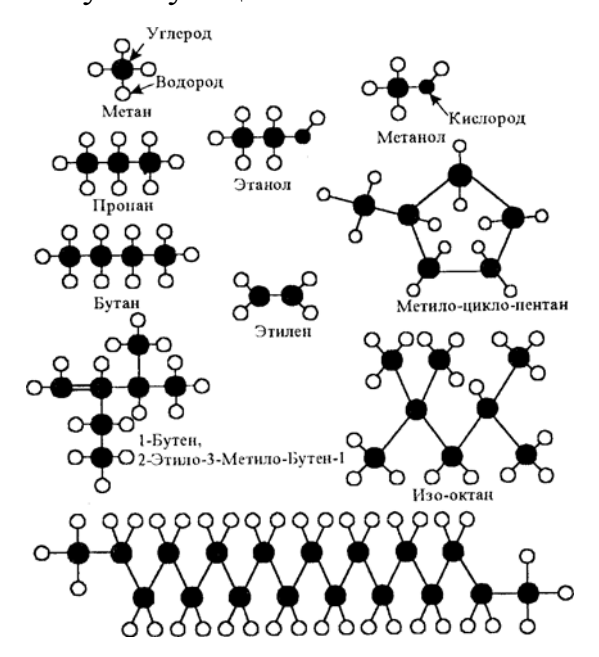


Рисунок 1.1 - Молекулярные структуры различных топлив

Более простая структура, а также незначительные размеры молекул способствуют более "чистому сгоранию" топлива.

Сложная структура и меньшие размеры молекул топлива, в процессе распада во время их сгорания, снижают промежуточные химические соединения, которые в свою очередь являются токсическими. Процесс сгорания альтернативных топлив образует окиси углерода в наименьшем количестве, сравнивая его с бензином. В связи с этим метан, пропан, бутан, метанол, этанол и водород менее загрязняют воздух во время их сгорания, как дизельное топливо и бензин.

Во время производства электрической энергии на электростанции проще управлять технологическим процессом (принимая во внимание оптимизацию токсических компонентов отработавших газов), чем в отдельных силовых агрегатах автомобилей.

#### В-третьих:

• в окончательном расчете существенным являются затраты на эксплуатацию силовых агрегатов транспортных средств. Применение природного и сжиженного газов снижает стоимость эксплуатации автомобилей. По производственным затратам, в случае его массового производства, метанол может конкурировать с бензином.

Метанол и водород на сегодняшний день по сравнению с другими альтернативными топливами являются слишком дорогими топливами, для того чтобы их применять широко для питания автомобилей. Однако введением соответствующих законов и применением определенных экономических стимулов (государственные дотации, освобождение от налогообложения и т.п.) цены водорода и спиртов можно значительно снизить. В последнее время стоимость электромобилей не является конкурентной по отношению к ценам автомобилей, заправляемых другими альтернативными источниками энергии. Транспортные электрическим будут более средства c приводом конкурентоспособными в случае увеличения эффективности и энергоемкости аккумуляторов. Применение альтернативных топлив должно в глобальном расчете, благодаря снижению эмиссии токсических компонентов отработавших газов, обеспечить более низкую стоимость эксплуатации автомобилей.

Из анализа известных данных по применению альтернативных топлив показывает, что группа топлив: природный газ, пропан и метан - сравнимы по цене со стандартными топливами. В зависимости от политики различных государств, цены на альтернативные топлива отличаются друг от друга.

#### 1.2 Альтернативные топлива, имеющие наиважнейшее значение

На рисунке 1.2 представлены данные доклада Morse на тему: "Автомобиль и загрязнение атмосферы", опубликованного американским Департаментом торговли, в котором приводится сравнение удельных показателей мощности и хранения энергии при различных системах питания автомобилей.

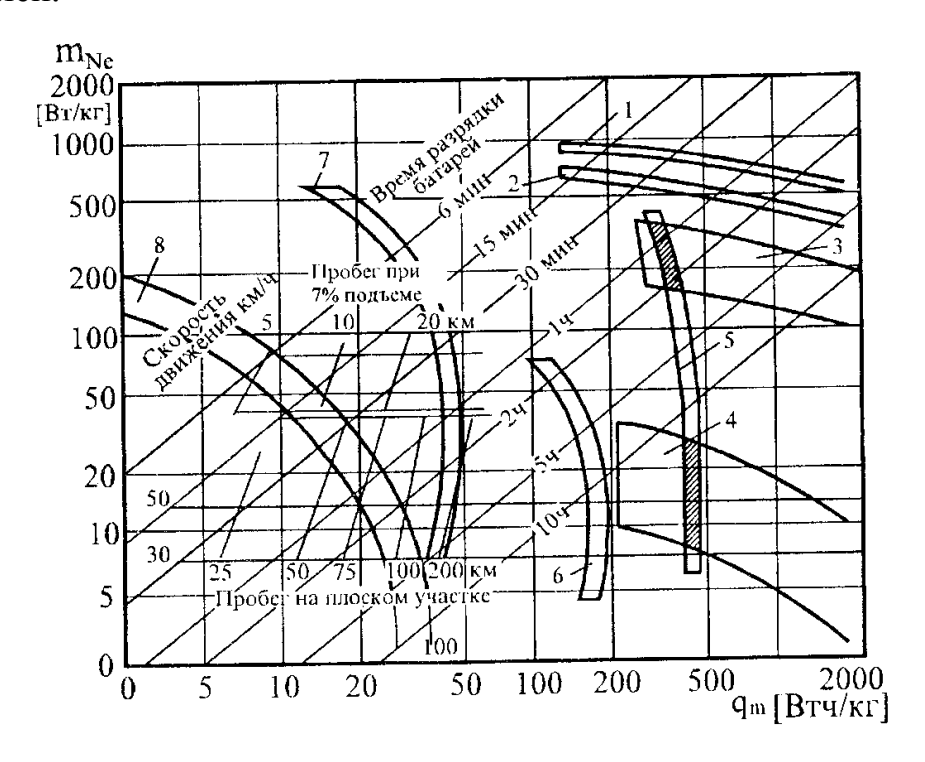


Рисунок. 1.2 - Удельные показатели мощности и хранения энергии при различных приводах: то удельная масса силового агрегата, определяющая отношение мощности силового агрегата к его массе, qm - номинальный удельный массовый показатель источника энергии, определяемый как энергия, получаемая из 1 кг источника, 1 - газовая турбина, 2 - силовой агрегат внутреннего сгорания, 3 - силовой агрегат с внешним сгоранием, 4 - электрический генератор с топливным элементом, 5 - электрический генератор с никель-цинковыми аккумуляторами, 6 - электрический генератор с никель-цинковыми аккумуляторами и воздушной деполяризацией, 7 - электрический генератор с никель-кадмиевыми аккумуляторами, 8 - электрический генератор со свинцовыми аккумуляторами

Из приведенных данных следует, что самый безвредный для окружающей среды способ применения аккумуляторов, характерен неблагоприятными весовыми показателями источника энергии, что препятствует его широкому применению на автомобилях. В настоящее время, учитывая различные аспекты, к самым перспективным альтернативным топливам следует отнести:

- 1) сжатый и сжиженный природный газ (CNG, LNG);
- 2) спирты;
- 3) "gazohol", производимый в Бразилии, как смесь бензина и метилового спирта;
- 4) LPG, состоящий в основном из  $C_3H_8$ , с примесью бутана  $C_4H_6$  и этана  $C_2H_6$ , и даже пентана  $C_5H_{12}$ ;
  - 5) растительные масла и их эфиры;
- 6) генераторный газ или синтез-газ (смесь водорода, окисей углерода и азота);
  - 7) синтетические углеводороды, в основном из угля.

При применении альтернативных топлив, следует учитывать следующие аспекты:

- эффективность мероприятия (издержки, связанные с конструктивными изменениями в силовом агрегате автомобиля);
- удобство эксплуатации; воздействие на окружающую среду (процесс биодеградации).

К альтернативным топливам, не нефтяного происхождения, следует отнести: битуминозные сланцы, смолу, природный газ, уголь, спирты, атомную энергию, а также солнечную энергию, запасенную в виде биомассы. В настоящее время можно сказать, что вышеперечисленные энергоносители не соответствуют всем требованиям, которые ставят перед ними транспортные средства. Эти энергоносители в первичной форме не все пригодны для

массового использования в силовых агрегатах. Чтобы использовать их в качестве топлива необходимо преобразовать первую форму, к примеру, в спирты (метиловый, этиловый и их производные), синтетический бензин, дизельное топливо. Найти применение могут метан, сжиженный газ, водород, электрическая энергия. На рисунке 1.3 представлена энергетическая цепь производства и потребления различных топлив на примере легкового автомобиля Фольксваген Гольф.

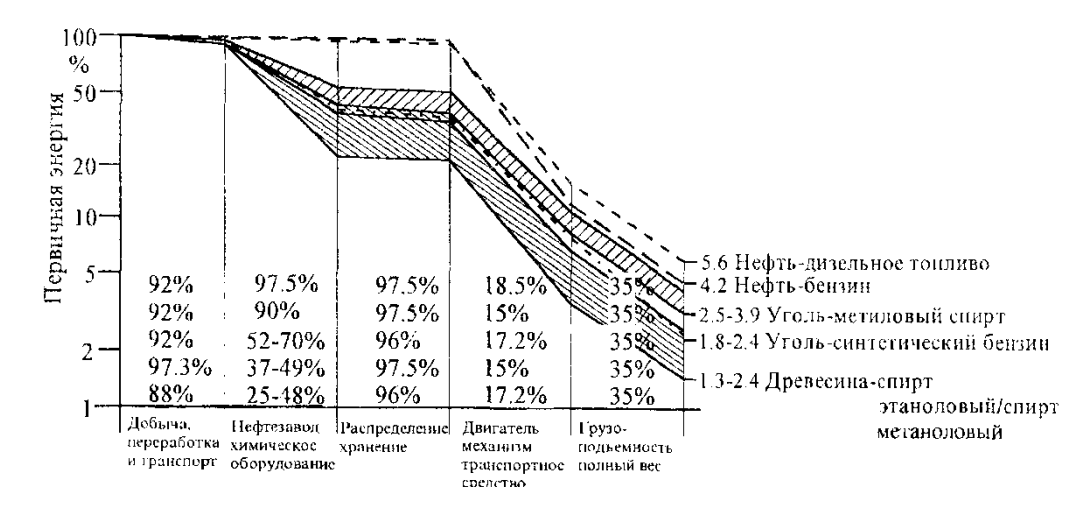


Рисунок 1.3 - Энергетическая цепь отдельных этапов производства и потребления различных источников первичной энергии топлив.

Оценка вторичных энергоносителей, проводимая с точки зрения применения их в качестве топлива в силовых агрегатах, должна учитывать вышеперечисленные аспекты.

2 Исследование достигнутого уровня техники силового агрегата для работы на природном газе

#### Обоснование необходимости проведения патентного исследования

К современным силовым агрегатам, в последнее время предъявляются повышенные требования по токсичности и экономичности. Одним из путей уменьшения токсичности ДВС является использование альтернативных бензину топлив. По оценкам специалистов одним из наиболее перспективным топливом, в ближайшие 50 лет, является природный газ (метан). Выявить прогрессивные решения, которые могут лечь в основу конструкции ДВС работающего на природном газе, можно в результате исследования достигнутого уровня технического развития в данной области техники.

#### Описание объекта

Система питания рядного, 4-х цилиндрового дизельного силового агрегата, рабочим объемом 1,5 л. представляет собой «классическую» систему питания и включает в себя все преимущества таких систем для силовых агрегатов с воспламенением рабочей смеси от сжатия. Номинальная мощность силового агрегата при работе на дизельном топливе 39 кВт, степень сжатия 23.

# Организация программы исследования

Целью организации программы исследования объекта по уровню техники «Система питания конвертированного дизельного силового агрегата для работы на природном газе» - обеспечение достаточной полноты и достоверности проведения исследования, используя минимальные затраты.

#### Определение цели исследования

Цель исследования достигнутого уровня развития вида техники «Система питания конвертированного дизельного силового агрегата для работы на природном газе» является за счет устранения его недостатков усовершенствовать исследуемый объект.

Выбор стран проверки, обоснование выбора

Объект подвергаемый исследованию принадлежит к области автомобилестроения. Страны - лидеры в данной области являются Япония, США, Франция, Германия. Необходимо отметить, что за последние 10 лет изза подъема экономики помимо признанных лидеров в автомобиле и двигателестроения к лидерам можно причислить и такие страны как Италия и Китай. Использование этой системы предполагается и в России. Следовательно выбираем в качестве проверки следующие страны: Россия, Китай, США, Япония, Италия, Германия, Франция.

Оценка объема, вида и наличия патентной документации стран проверки ТГУ в патентно-лицензионном отделении имеется полный фонд растолкований к авторским патентам и свидетельствам, реферативных сборников и бюллетеней.

Электронные ресурсы на сайтах <a href="https://uspto.gov">https://fips.ru</a>. Определение видов промышленной собственности, подлежащих проверке

будем исследовать не только изобретения ИЗ всех видов промышленной собственности, имеющих защиту в странах проверки, но и литературу относящуюся к научно-технической части, потому что в ней представлен наиболее современнейший уровень техники. Так как только полезные модели и изобретения относящиеся к отрасли промышленной собственности охватывают технические решения, во внимание при исследовании патентоспособности из всех форм промышленной собственности, защищаемых в странах поверки, принимаем во внимание только их.

### Определение категории объекта

Устройство питания конвертированного дизельного силового агрегата для работы на природном газе характеризуется различными элементами, входящих в ее состав, их расположением и взаимодействием. Это признаки устройства, а признаки способа и вещества отсутствуют. Отсюда следует вывод: как объект силовой агрегат внутреннего сгорания является устройством.

Выявление технических решений используемых в объекте

Изучаемый объект — Система питания конвертированного дизельного силового агрегата для работы на природном газе:

- а) взаимное расположение элементов систем;
- б) использование в системах деталей и устройств от других схожих топливных систем, которые уже производятся;
  - в) конструкция в целом.

Система, подвергнутая усовершенствованию, может содержать не только приведенные, но и технические решения другого направления.

Определение и подбор технической документации на объект

Задача этого этапа – осуществить подбор технической документации на исследуемый объект, которая показывает или описывает ИТР, отобранные ранее, с исчерпывающей полнотой.

Будем проводить исследование по технической документации приведенной ниже:

- представление к авторским свидетельствам;
- описание объекта.

Определение ИТР в зависимости от цели усовершенствования объекта

Технические решения предназначенные для достижения цели усовершенствования следующие: использование элементов и деталей готовых в производстве, взаимное расположение элементов, конструкция в целом.

Составление регламента поиска

Формулировка индексов УДК ИТР и рубрик МКИ. Для определения рубрик МКИ ИТР необходимо выделить ключевые слова. Алфавитно-предметный указатель, позволяет определить предполагаемую рубрику F 01-02. Индекс УДК 621 определяется по «Указателю к универсальной десятичной классификации».

Введение глубины поиска

Проведенный общий анализ состояния автомобилестроения и вида техники показывает, что наиболее прогрессивные технические решения содержатся в изобретениях сделанных в последние 5-15 лет. Отсюда глубина поиска при исследовании достигнутого уровня развития техники - 15 лет (2003-2018).

#### Определение источников информации

Выбираем источники информации при исследовании – принимаем все источники, которые указаны в п. 2.15

Поиск материалов имеющих отношение к объекту. Выбор вида поиска

Ввиду того, что ИТР относится к нескольким рубрикам МКИ, то выбираем тематический (предметный) вид поиска.

Выбор патентно-технической документации, имеющей отношение к ИТР

Сведения о ТР, имеющих отношение к ИТР, применяемых к рассмотрению, заносим в таблицу 2.1. для этого просматриваем источники информации с регламентом поиска. Производим выбор таких документов, по названиям которых можно сделать вывод, что они имеют отношение к ИТР. По этим документам знакомимся с аннотациями, рефератами, чертежами и формулами изобретений.

#### Анализ сущности технических решений

Изучаем сущность технических решений, занесенных в таблицу 2.2, а также путем просмотра текстов патентных описаний, статей и т.п. Если из рассмотрения сущности ТР видно, что оно решает принципиально иную задачу, которую решает ИТР, документ исключаем из рассмотрения. Если видно, что ТР решает ту же или близкую задачу, документ включаем в перечень для анализа.

#### Регламент поиска

Объект: Система питания конвертированного дизельного силового агрегата для работы на природном газе

Вид исследования: Анализ достигнутого уровня в развитии вида техники.

Таблица 2.1 – Сведения о странах поиска

Предмет поиска	Страны	Индексы МКИ	Глубина	Источники
(ИТР)	поиска	и УДК	поиска,	Информации
			лет	
Газовый	США,	МКИ	(2003-	Журналы и книги по
силовой агрегат	Германия,	F 01, 02,	2018 г.г.)	двигателям внутреннего сгорания.
	Россия,			Представление к авторским
	Франция,			патентам и свидетельствам. «Бюллетень, изобретения»
	Япония,	УДК 621.4		Электронные ресурсы на
	Италия,			сайтах. https:// uspto.gov, https://
	Китай			fips.ru. «Двигатели
				внутреннего сгорания»
				Реферативный журнал ВНИТИ
				DULLIL

#### Определение показателей положительного эффекта

- а) Данные, обеспечивающие достижение цели усовершенствования объекта: упрощение конструкции и повышение экономичности.
- б) Данные, не помогающие достичь цели, но увеличивавшие полезные свойства для объекта: увеличение эксплуатационных возможностей.

В таблице 4.3 представляются показатели положительного эффекта. Сравнительный анализ недостатков и преимуществ прототипа и ИТР

Оценка обеспечения показателей положительного эффекта прототипа и ИТР в баллах от -4 до +4. Оценки ИТР представляются в таблице 2.3.

Таблица 2.2 – Информация научно-техническая отобранная для анализа

Предмет	Страна выдачи, вид	Автор, заявитель, страна,	Сущность технического решения	Подлежит
Поиска(ИТР)	и номер охранного документа,	дата приоритета, дата публикации, название	и цель его создания	(не подлежит) детальному
	Классификационны й индекс	,		исследованию
1 Газовый	Китай	Газовый силовой агрегат	Одним из путей снижения токсичности ОГ	Неподлежит
силовой	УДК 621.433	с электронным управлением.	является разработка газовых силовых агрегатов, способных работать на природном газе. Основной	
агрегат		Хга Yuan, Xhou Xide (College of Mechanical and Electrical Engineering, Northern Jiaotong Univ., Beijing 100044, China). Yiqi yibiao xuebao= Chin. J. Sci. Instrum. 2004. 22, № 3, с. 292-295, 299, 8 ил. Библ. б. Кит.; рез. англ.	трудностью при создании таких силовых агрегатов остается конструирование системы впрыскивания топлива с электронным управлением. Рассмотрены базовые принципы, на основе которых разработаны программное обеспечение и топливоподающая аппаратура для экспериментального газового силового агрегата. Исследования, проведенные на силовом агрегате, показали значительное снижение токсичности ОГ.	
2 -//-	Германия УДК 621.433	Двигатели Mercedes - Вепz для работы на природном газе. Nutzfahrzeuge mit Flussiggas-Antrieb im Einsatz // IKZ-Haustechn. — 2003 54, № 22C. 82-83 Нем.	Фирма Mercedes-Benz разработала силовые агрегаты для работы на природном газе. Четыре автомобиля фирмы Progas GmbH с этими силовыми агрегатами проходят опытную эксплуатацию.	Неподлежит

Продолжение таблицы 2.2

				ение таолицы 2.2
3 -//-	Италия	Газовый автомобиль	В настоящее время в Италии около 300000	Неподлежит
	УДК 621.433	Multipla Bipower фирмы	автомобилей эксплуатируются на природном газе.	
	7 711 0211.100	Fiat. Erdgas-mobil Multipla	Выпущенный фирмой Fiat автомобиль содержит 4-	
		Fiat Bupower // AMZ:	цилиндровый силовой агрегат способный работать	
		Auto, Mot., Zubehor—	на бензине и на газе. Мощность силового агрегата	
		2003— 88, № 9— C. 40.—	на бензине - 76 кВт, на газе - 70 кВт. Силовой	
		Нем. Место хранения	агрегат может переключаться с одного топлива на	
		ГПНТБ России	другое без остановки автомобиля. Макс. скорость	
			автомобиля на бензине 168 км/ч, на газе 157 км/ч.	
			Разгон 13,5 и 16 с соответственно. Запас хода	
			автомобиля при работе на двух топливах составляет	
			930 км	
4 -//-	Германия	Газовый силовой агрегат.	Фирма Guitel MPR Rollen GmbH разработала	Неподлежит
	УДК 621.433	Gasmotoren-Baureihe	новый V-образный 10-цилиндровый газовый	
	3 ДК 021. <del>4</del> 33	erweitert // F + H: Fordern	силовой агрегат WSG 1068 с iVh = 6,8 л. Работа на	
		und Heben2011 50,	сжатом природном газе происходит при Ne = 177	
		№ 5 С. 574 Нем.	$\kappa$ Вт (3600 мин <sup>-1</sup> ), Me = 478 Hм (3400 мин <sup>-1</sup> ).	
			Силовой агрегат выполнен с головками цилиндров	
			из алюминиевого сплава и механизмом для	
			уравновешивания сил инерции второго порядка.	
5 -//-	Германия	Легковой автомобиль с	Фирма OSV (Opel Special Vehicles), являющаяся	Неподлежит
	УДК 621.433	газовым силовым	дочерней фирмы Opel, выпускает автомобиль Zafira	
	удк 021.433	агрегатом. Erdgas fur den	с газовым силовым агрегатом Ecotec-Motor,	
		Zafira. Autofachmann.	работающим на природном газе. Рабочий объем	
		2005, Ns 2, с. 7. Нем.	силового агрегата 1,6 л, степень сжатия 12,5.	
			Значения Ne=74 кВт и Ме = 150 Нм не снижены по	
			сравнению с бензиновым вариантом. Расход газа на	
			100 км составляет 5,5 кг. Стоимость газа для такого	
			пробега - 7,43 немецких марки. На автомобиле	
			установлено 4 газовых баллона емкостью 111 л (21	
			кг). В Германии открыты первые 200	
			газозаправочных станций против 8000 станций для	
			бензина и дизельного топлива.	

Продолжение таблицы 2.2

				ение таолицы 2.2
6. Газовый	Италия.	Силовой агрегат для	Патентуемая двойная система питания	Подлежит
силовой	Заявка 0922843	работы на газе. Fuel	предназначена для силового агрегата, способного	
Chilobon		feeding system and way for	переключаться с работы на газе на работу на	
агрегат	MΠK <sup>6</sup> F 02 D 19/06	an internal engine	жидком топливе. Система состоит из обычной	
		combustion able to be	части с индивидуальными форсунками и газовой	
		operated selectively with	части, содержащей резервуар для газа с	
		gas:	измерителем уровня, насос для подачи газа в	
		EПВ, Ferrera Massimo,	напорную магистраль, к которой подключены	
		Gozzelino Ricardo, Perotto	индивидуальные газовые форсунки, и линии	
		Aldo; C. R. F. Soc.	возврата избытка газа из напорной магистрали в	
			резервуар. В случае остановки силового агрегата и	
		98830733.6; Заявл.	отсутствия газа в резервуаре последующий пуск и	
		4.12.98; Опубл. 16.6.2005	работа автоматически осуществляются на бензине.	
7. Газовый	Великобритания.	Газовый Силовой	В развитие двух предыдущих патентов патентуется	Подлежит
7. 1 d30bbin	1	агрегат. Multiple fuel	легковой автомобиль с силовым агрегатом	Подлежи
силовой	Заявка 2345729,	vehicle: BG Intellectual	способным работать на газовом топливе. Для этого	
агрегат	$M\Pi K^7 F 02 D 19/06,$	Property Ltd, Brightwell	вида топлива предусмотрен расположенный под	
arperar	,	Alan, Wedge Philip John,	днищем баллон.	
	B 60 K 15/063.	Dames Russell John	динцен офилоп.	
		(William Illingworth-Law		
		BG pie, Intellectual		
		Property Department, 100		
		Thames Valley Park Drive,		
		READING, Berkshire,		
		RG6 1PT, United		
		Kingdom). № 99309.1;		
		Заявл. 24.12.1999; Опубл.		
		19.07.2004: НПК FIB.		
		Англ.		
		7 1111 51.		

# Продолжение таблицы 2.2

8. Газовый	США.	Газовый силовой	Патентуется газовый силовой агрегат для работы на	Подлежит
силовой	Пат. 5915365.	агрегат. Combined system	природном газе. Представлено детальное описание	
Силовои		using a vaporous fuel	системы, подготовка газовоздушной смеси, меры по	
агрегат	$M\Pi K^6 F 02 M 21/04$	mixture energy source and	повышению эффективности работы, экономические	
		an internal combustion	аспекты применения силового агрегата и ряд	
		engine and method	других вопросов. Патентная формула содержит 90	
		therefor: Meisinger Phil,	пунктов.	
		Stinson Gene E., Wheeler		
		Edwin W.; Engine World,		
		Inc.— № 08/840206;		
		Заявл. 11.4.07;		
		Опубл. 29.6.2012; НПК		
		123/527		

Таблица 2.3 – Оценка недостатков и преимуществ прототипа и ИТР

1 401	Показатели Показатели Аналоги					
	показатели			Аналоги	ЭГИ	
	положительного эффекта	ИТР	Великобритания. Заявка 2345729, МПК7 F 02 D 19/06, B 60 K 15/063.	Италия. Заявка 0922843 МПК <sup>6</sup> F 02 D 19/06	США. Пат. 5915365. МПК6 F 02 М 21/04	
1	2	3	4	5	6	
1.	Показатели, обеспечивающие достижение цели усовершенствования					
	Снижение токсичности	0	0	0	0	
	Мощностные показатели ДВС	0	0	-1	-1	
	Динамические показатели ДВС	0	-1	0	0	
	Степень сжатия	11	-	-	-	
	Габариты системы	0	1	1	1	
	Снижение стоимости	0	-1	-1	-1	
2.	Данные, косвенно помогающие достичь цель					
	Усовершенствование технологичности конструкции	0	0	0	-1	
	Прочность/исправность системы	0	1	0	0	
3.	Данные, увеличивающие полезность свойств объекта					
	Увеличение эксплуатационных способностей	0	0	1	0	
	Ремонтопригодность и обслуживание	0	-1	-1	-1	
4.	Показатели, ослабляющие вредные свойства объекта					
	Уменьшение трудоемкости	0	0	0	0	
	Упрощение конструкции	0	0	0	0	
	арный положительный	0	-1	-1	-3	
эффеі	KT					

#### Описание усовершенствованного объекта

Система подачи природного газа управляется электронным блоком (ЭБУ), необходимые управления который передает сигналы исполнительному устройству – регулятору подачи газа, на основании опроса датчиков электрической системы управления силовым агрегатом (ЭСУД). Главной особенностью ЭСУД является наличие двух датчиков: датчика частоты вращения коленчатого вала силового агрегата и датчика положения топливной рейки ТНВД. Вследствие того, что у дизельного силового агрегата качественное регулирование, а следовательно отсутствует дроссельная заслонка, то расход воздуха необходимый для определения цикловой подачи топлива с заданным коэффициентом избытка воздуха определяется по датчику частоты вращения коленчатого вала. Нагрузка на силовой агрегат определяется по положению топливной рейки ТНВД. ЭБУ обрабатывая сигнал с указных выше датчиков формирует сигнал на исполнительный механизм. Регулятор подачи газа представляет собой устройство, состоящее из корпуса, шагового двигателя и клапана. Шаговый двигатель получив сигнал от ЭБУ изменяет положение штока клапана и тем самым изменяет проходное сечение клапана, а следовательно изменяет расход газа. Основным преимуществом такой системы регулирования подачи газа является простота исполнения в совокупности с достаточной точностью регулирования подачи топлива. Вследствие, закритического перепада давления на клапане, влияние параметров во впускном коллекторе на характеристику подачи топлива минимально. Следует отметить, что такая система может работать без датчика температуры т.к. изменение мощности из-за изменения плотности компенсируется необходимым положением топливной рейки газа всережимным регулятором ТНВД.

Формулирование рекомендаций и выводов

Задачей данного этапа является выработка, по итогам исследования достигнутого уровня вида техники, окончательных выводов.

Заключение по результатам исследования достигнутого уровня техники

Как показало исследование: предложенный усовершенствованный объект «Система питания дизельного силового агрегата для работы на природном газе» соответствует уровню развития этого вида техники.

#### 3 Расчет газодизельного цикла

3.1 Тепловой расчет (по методике Гринивецкого-Мазинга) газодизельного цикла

$$1.4$$
 Коэффициент избытка воздуха  $\alpha = {1.4 \atop 1.4}$  1.4

Степень сжатия є =23

Тактность силового агрегата  $\tau = 4$ 

Частота вращения коленчатого вала 
$$n = {2500 \atop 4500} (\text{rpm})$$
 4800

Число цилиндров силового агрегата i=4

Отношение радиуса кривошипа к длине шатуна  $\lambda' = 0.31$ 

$$j := 1 ... 4$$
 - число разбиений п

$$n_N = n_3$$

#### 3.1.1 Топливо

Будем считать, что добавка метана в количестве <u>м.</u>:= 85 % будет изменять углеродное число топлива. Тогда, принимая это допущение, можно оценить теплотворную способность смеси метана и дизельного топлива, как "условного топлива" с молекулярным составом представленным ниже:

Дизельное топливо

$$C_{\pi} := 0.87 \quad H_{\pi} := 0.126$$

Низшая теплота сгорания

$$Hu_{\text{Д}} := \begin{vmatrix} 33.91 \cdot \text{C}_{\text{Д}} + 125.6 \cdot \text{H}_{\text{Д}} - 2.51 \cdot 9 \cdot \text{H}_{\text{Д}} \end{vmatrix} \cdot 1000$$
  $Hu_{\text{Д}} = 42480.96 \text{ (kJ/kg)}$  Метан

$$C_{M} := 0.76$$
  $H_{M} := 0.24$   $m_{T} := 16 (kg/kmol)$ 

Низшая теплота сгорания

$$Hu_{M} := \begin{vmatrix} 33.91 \cdot C_{M} + 125.6 \cdot H_{M} - 2.51 \cdot 9 \cdot H_{M} \end{vmatrix} \cdot 1000 \quad Hu_{M} = 50494 \text{ (kJ/kg)}$$

Низшая теплота сгорания смеси 15% дизельно-газового топлива и 85% природного газа:

$$Hu := \frac{m}{100} \cdot Hu_{JJ} + \left(1 - \frac{m}{100}\right) \cdot Hu_{M}$$
  $Hu = 4.37 \times 10^{4} \text{ (kJ/kg)}$ 

Теоретически необходимое количество воздуха для сгорания 1 кг дизельного топлива

$$L_{0\mu} := \frac{1}{0.208} \cdot \left( \frac{C_{\pi}}{12} + \frac{H_{\pi}}{4} \right)$$

$$L_{0\mu} = 0.5 \text{ (kmol air/kg fuel)}$$

$$L_{0\mu} := \frac{1}{0.23} \cdot \left( \frac{8}{3} \cdot C_{\pi} + 8 \cdot H_{\pi} \right)$$

$$L_{0\mu} = 14.47 \text{ (kg air/kg fuel)}$$

Теоретически необходимое количество воздуха для сгорания 1 кг природного газа

$$\begin{split} L_{0\text{M}} &\coloneqq \frac{1}{0.208} \cdot \left( \frac{C_{\text{M}}}{12} + \frac{H_{\text{M}}}{4} \right) \\ l_{0\text{M}} &\coloneqq \frac{1}{0.23} \cdot \left( \frac{8}{3} \cdot C_{\text{M}} + 8 \cdot H_{\text{M}} \right) \end{split}$$

$$\begin{aligned} L_{0\text{M}} &\coloneqq 0.59 \text{ (kmol air/kg fuel)} \\ l_{0\text{M}} &\coloneqq 17.16 \text{ (kg air/kg fuel)} \end{aligned}$$

Теоретически необходимое количество воздуха для сгорания 1 кг смеси природного газа и дизельного топлива

$$L_{0} := \frac{m}{100} \cdot L_{0, \pi} + \left(1 - \frac{m}{100}\right) \cdot L_{0, m}$$

$$L_{0} := 0.51 \text{ (kmol air/kg fuel)}$$

$$l_{0} := \frac{m}{100} \cdot l_{0, \pi} + \left(1 - \frac{m}{100}\right) \cdot l_{0, m}$$

$$l_{0} = 14.87 \text{ (kg air/kg fuel)}$$

Количество горючей смеси

$$M_1 := \alpha \cdot L_0$$

$$M_1 = 0.72$$

$$M_1 = 0.72$$

$$0.72$$
(kmol/kg fuel)

Количество отдельных компонентов продуктов сгорания

$$\begin{split} M_{CO2} &\coloneqq \frac{\frac{m}{100} C_{\text{pl}} + \left(1 - \frac{m}{100}\right) C_{\text{m}}}{12} \\ M_{CO2} &\coloneqq \frac{\frac{m}{100} H_{\text{pl}} + \left(1 - \frac{m}{100}\right) H_{\text{m}}}{12} \\ M_{H2O} &\coloneqq \frac{\frac{m}{100} H_{\text{pl}} + \left(1 - \frac{m}{100}\right) H_{\text{m}}}{2} \\ M_{N2} &\coloneqq 0.792 \cdot \alpha \cdot L_{0} \\ M_{N2} &\coloneqq 0.792 \cdot \alpha \cdot L_{0} \end{split} \qquad \qquad \\ M_{N2} &\coloneqq 0.792 \cdot \alpha \cdot L_{0} \\ M_{N2} &\coloneqq 0.57 \\ 0$$

$$M_{O2} := 0.208 \cdot (\alpha - 1) \cdot L_0$$

$$M_{O2} = \begin{pmatrix} 0.04 \\ 0.04 \\ 0.04 \\ 0.04 \end{pmatrix} \text{ (kmol O}_2/\text{kg fuel)}$$

Общее количество продуктов сгорания

$$M_2 := M_{CO2} + M_{O2} + M_{H2O} + M_{N2}$$
 $(0.76)$ 

$$M_{2} = \begin{pmatrix} 0.76 \\ 0.76 \\ 0.76 \\ 0.76 \end{pmatrix}$$
 (kmol comb/kg fuel)

3.1.2 Параметры окружающей среды

$$p_0 := 0.1 \text{ (MPa)}$$
  $p_k := p_0$ 

$$T_0 := 293 \, (K)$$
  $T_k := T_0$   $T_r := \begin{pmatrix} 850 \\ 950 \\ 950 \\ 950 \end{pmatrix}$ 

(K)- задаемся температурой остаточных газов Давление остаточных газов

$$p_{rN} = 1.15 \cdot p_0$$
  $p_{rN} = 0.115 \text{ (MPa)}$ 

$$A_{p} := \frac{\left| p_{rN} - p_{0} \cdot 1.035 \right| \cdot 10^{8}}{\left| n_{N} \right|^{2} \cdot p_{0}} \qquad A_{p} = 0.5679$$

$$p_{r_{j}} := p_{0} \cdot \left[ 1.035 + A_{p} \cdot 10^{-8} \cdot | n_{j} |^{2} \right] \qquad p_{r} = \begin{pmatrix} 0.1039 \\ 0.107 \\ 0.115 \\ 0.1166 \end{pmatrix}$$
 (MPa)

3.1.3 Процесс впуска

$$_{\Delta}T_{N} \coloneqq 20$$

$$A_{T} := \frac{\Delta T}{110 - 0.0125 \cdot n_{N}} \qquad A_{T} = 0.37$$

$$\Delta T_{j} := A_{T} \cdot |110 - 0.0125 \cdot n_{j}|$$

$$\Delta T_{j} := A_{T} \cdot |110 - 0.0125 \cdot n_{j}|$$

$$\Delta T_{j} := A_{T} \cdot |110 - 0.0125 \cdot n_{j}|$$

$$\Delta T_{j} := A_{T} \cdot |110 - 0.0125 \cdot n_{j}|$$

$$\Delta T_{j} := A_{T} \cdot |110 - 0.0125 \cdot n_{j}|$$

$$\Delta T_{j} := A_{T} \cdot |110 - 0.0125 \cdot n_{j}|$$

$$\Delta T_{j} := A_{T} \cdot |110 - 0.0125 \cdot n_{j}|$$

$$\Delta T_{j} := A_{T} \cdot |110 - 0.0125 \cdot n_{j}|$$

$$\Delta T_{j} := A_{T} \cdot |110 - 0.0125 \cdot n_{j}|$$

$$\Delta T_{j} := A_{T} \cdot |110 - 0.0125 \cdot n_{j}|$$

$$\Delta T_{j} := A_{T} \cdot |110 - 0.0125 \cdot n_{j}|$$

$$\Delta T_{j} := A_{T} \cdot |110 - 0.0125 \cdot n_{j}|$$

$$\Delta T_{j} := A_{T} \cdot |110 - 0.0125 \cdot n_{j}|$$

$$\Delta T_{j} := A_{T} \cdot |110 - 0.0125 \cdot n_{j}|$$

$$\Delta T_{j} := A_{T} \cdot |110 - 0.0125 \cdot n_{j}|$$

$$\Delta T_{j} := A_{T} \cdot |110 - 0.0125 \cdot n_{j}|$$

$$\Delta T_{j} := A_{T} \cdot |110 - 0.0125 \cdot n_{j}|$$

$$\Delta T_{j} := A_{T} \cdot |110 - 0.0125 \cdot n_{j}|$$

$$\Delta T_{j} := A_{T} \cdot |110 - 0.0125 \cdot n_{j}|$$

$$\Delta T_{j} := A_{T} \cdot |110 - 0.0125 \cdot n_{j}|$$

$$\Delta T_{j} := A_{T} \cdot |110 - 0.0125 \cdot n_{j}|$$

$$\Delta T_{j} := A_{T} \cdot |110 - 0.0125 \cdot n_{j}|$$

$$\Delta T_{j} := A_{T} \cdot |110 - 0.0125 \cdot n_{j}|$$

$$\Delta T_{j} := A_{T} \cdot |110 - 0.0125 \cdot n_{j}|$$

$$\Delta T_{j} := A_{T} \cdot |110 - 0.0125 \cdot n_{j}|$$

$$\Delta T_{j} := A_{T} \cdot |110 - 0.0125 \cdot n_{j}|$$

$$\Delta T_{j} := A_{T} \cdot |110 - 0.0125 \cdot n_{j}|$$

$$\Delta T_{j} := A_{T} \cdot |110 - 0.0125 \cdot n_{j}|$$

$$\Delta T_{j} := A_{T} \cdot |110 - 0.0125 \cdot n_{j}|$$

$$\Delta T_{j} := A_{T} \cdot |110 - 0.0125 \cdot n_{j}|$$

$$\Delta T_{j} := A_{T} \cdot |110 - 0.0125 \cdot n_{j}|$$

$$\Delta T_{j} := A_{T} \cdot |110 - 0.0125 \cdot n_{j}|$$

$$\Delta T_{j} := A_{T} \cdot |110 - 0.0125 \cdot n_{j}|$$

$$\Delta T_{j} := A_{T} \cdot |110 - 0.0125 \cdot n_{j}|$$

$$\Delta T_{j} := A_{T} \cdot |110 - 0.0125 \cdot n_{j}|$$

$$\Delta T_{j} := A_{T} \cdot |110 - 0.0125 \cdot n_{j}|$$

$$\Delta T_{j} := A_{T} \cdot |110 - 0.0125 \cdot n_{j}|$$

$$\Delta T_{j} := A_{T} \cdot |110 - 0.0125 \cdot n_{j}|$$

$$\Delta T_{j} := A_{T} \cdot |110 - 0.0125 \cdot n_{j}|$$

$$\Delta T_{j} := A_{T} \cdot |110 - 0.0125 \cdot n_{j}|$$

Плотность заряда на впуске

$$\rho_0 := \frac{p_0 \cdot 10^6}{287 \cdot T_0}$$

$$\rho_0 = 1.19 \text{ (kg/m}^3)$$

Потери давления на впуске если скорость на впуске  $_{\rm 00}$   $_{\rm BH} := 100$  m/s

$$A_{n} := \frac{\frac{\omega_{BII}}{n_{N}}}{A_{n}} = \frac{0.022222}{A_{n}}$$

$$\Delta p_{a_{j}} := \frac{2.8 \cdot A_{n}^{2} \cdot |n_{j}|^{2} \cdot \rho_{0} \cdot 10^{-6}}{2}$$

$$\Delta p_{a} := \frac{0.0005}{0.0051}$$

$$\Delta p_{a} = \begin{pmatrix} 0.0005\\ 0.0051\\ 0.0166\\ 0.0189 \end{pmatrix}$$
 (MPa)

Давление в конце впуска

$$p_{a_{j}} := p_{0} - \Delta p_{a_{j}}$$

$$p_{a} = \begin{pmatrix} 0.1 \\ 0.09 \\ 0.08 \\ 0.08 \end{pmatrix}$$
 (MPa)

Для определения коэффициента остаточных газов для силового агрегата без наддува принимается  $\phi_{\text{OU}} := 1$ , а коэффициент дозарядки на номинальном скоростном режиме  $\phi_{\text{ЛОЗ}} = 1,0$ .

$$\phi_{\Delta O3} := \begin{pmatrix} 1 \\ 1 \\ 1 \\ 1 \end{pmatrix} \qquad \gamma_{r_{j}} := \frac{T_{0} + \Delta T_{j}}{T_{r_{j}}} \cdot \frac{p_{r_{j}}}{\epsilon \cdot \phi_{\Delta O3_{j}} \cdot p_{a_{j}} - \phi_{OY} \cdot p_{r_{j}}} \qquad \gamma_{r} = \begin{pmatrix} 0.0185 \\ 0.0175 \\ 0.021 \\ 0.0219 \end{pmatrix}$$

Температура в конце впуска

$$T_{a_{j}} := \frac{T_{0} + \Delta T_{j} + \gamma_{r_{j}} \cdot T_{r_{j}}}{1 + \gamma_{r_{j}}} \qquad T_{a} = \begin{pmatrix} 339.64 \\ 333.1 \\ 326.12 \\ 325.27 \end{pmatrix} (K)$$

Коэффициент наполнения

$$\eta_{\mathbf{V}_{\mathbf{j}}} \coloneqq \frac{T_{\mathbf{0}}}{T_{\mathbf{0}} + \Delta T_{\mathbf{j}}} \cdot \frac{1}{\varepsilon - 1} \cdot \frac{1}{p_{\mathbf{0}}} \left| \phi_{\mathbf{A}03_{\mathbf{j}}} \cdot \varepsilon \cdot \mathbf{p}_{\mathbf{a}_{\mathbf{j}}} - \phi_{\mathbf{0}\mathbf{Y}} \cdot \mathbf{p}_{\mathbf{r}_{\mathbf{j}}} \right| \quad \eta_{\mathbf{V}} = \begin{pmatrix} 0.881 \\ 0.857 \\ 0.767 \\ 0.747 \end{pmatrix}$$

#### 3.1.4 Процесс сжатия

Средние показатели адиабаты и политропы сжатия

$$\mathbf{k}_{1} \coloneqq \begin{pmatrix} 1.3755 \\ 1.3761 \\ 1.3763 \\ 1.3768 \end{pmatrix} \qquad \mathbf{n}_{1} \coloneqq \begin{pmatrix} 1.375 \\ 1.376 \\ 1.376 \\ 1.377 \end{pmatrix} \qquad \mathbf{T}_{a} = \begin{pmatrix} 339.64 \\ 333.1 \\ 326.12 \\ 325.27 \end{pmatrix} (K)$$

Давление в конце сжатия

$$p_{c_{j}} := p_{a_{j}} \cdot \varepsilon^{n_{1_{j}}}$$

$$p_{c} = \begin{pmatrix} 7.41 \\ 7.09 \\ 6.23 \\ 6.08 \end{pmatrix}$$
 (MPa)

Температура в конце сжатия

$$T_{c_{j}} := T_{a_{j}} \cdot \varepsilon^{n_{1_{j}} - 1}$$

$$T_{c} = \begin{pmatrix} 1.1 \times 10^{3} \\ 1.08 \times 10^{3} \\ 1.06 \times 10^{3} \\ 1.06 \times 10^{3} \end{pmatrix} (K)$$

Средняя мольная теплоемкость в конце сжатия:

а) свежей смеси воздуха

$$t_{c_{j}} := T_{c_{j}} - 273$$

$$t_{c} = \begin{pmatrix} 827.69 \\ 809.89 \\ 787.19 \\ 787.77 \end{pmatrix}$$

$$mc_{VC_{j}} := 20.6 + 2.638 \cdot 10^{-3} \cdot t_{c_{j}}$$

$$mc_{VC} = \begin{pmatrix} 22.783 \\ 22.736 \\ 22.677 \\ 22.678 \end{pmatrix}$$
(kJ/kmol deg)

б) остаточных газов

при n = 
$$\begin{pmatrix} 800 \\ 2500 \\ 4500 \\ 4800 \end{pmatrix}$$
 (об/мин) и  $t_c = \begin{pmatrix} 827.69 \\ 809.89 \\ 787.19 \\ 787.77 \end{pmatrix}$  (С)

теплоемкость при  $t_1 := 600$  С

 $mc"_{vC1} := 24.014 (kJ/kmol deg)$ 

теплоемкость при  $t_2 := 700$  С

 $mc"_{VC2} := 24.44(kJ/kmol deg)$ 

в) рабочей смеси

$$mc"_{VC_{j}} := mc"_{VC1} + |mc"_{VC2} - mc"_{VC1}| \cdot \frac{t_{2} - t_{c_{j}}}{t_{2} - t_{1}} mc"_{VC} = \begin{pmatrix} 23.47 \\ 23.5459 \\ 23.6426 \\ 23.6401 \end{pmatrix} \text{ (kJ/kmo)}$$

$$1 \text{ deg)}$$

$$(22.8)$$

$$mc'_{VC_{j}} := \frac{1}{1 + \gamma_{r_{j}}} mc_{VC_{j}} + \gamma_{r_{j}} mc''_{VC_{j}} mc''_{VC_{j}} mc'_{VC} = \begin{pmatrix} 22.8 \\ 22.75 \\ 22.7 \\ 22.7 \end{pmatrix}$$
 (kJ/kmol deg)

## 3.1.5 Процесс сгорания

Коэффициент молекулярного изменения горючей и рабочей смеси

$$\mu_{0} := \frac{M_{2_{j}}}{M_{1_{j}}} \qquad \mu_{0} = \begin{pmatrix} 1.05 \\ 1.05 \\ 1.05 \\ 1.05 \end{pmatrix} \qquad \mu_{j} := \frac{\mu_{0_{j}} + \gamma_{r_{j}}}{1 + \gamma_{r_{j}}} \qquad \mu_{j} = \begin{pmatrix} 1.05 \\ 1.05 \\ 1.05 \\ 1.05 \end{pmatrix}$$

Теплота сгорания рабочей смеси

$$H_{\text{pa6.cm.}_{j}} := \frac{Hu}{M_{1_{j}} \cdot 1 + \gamma_{r_{j}}}$$

$$H_{\text{pa6.cm.}} = \begin{pmatrix} 59610 \\ 59666.8 \\ 59461.1 \\ 59411.3 \end{pmatrix} \text{ (kJ/kmol mix)}$$

$$\xi \coloneqq \begin{pmatrix} 0.7 \\ 0.8 \\ 0.82 \\ 0.8 \end{pmatrix}$$
 (коэф. использования теплоты)

Средняя мольная теплоемкость продуктов сгорания и температура в конце сгорания

 $t_Z \coloneqq 1000~{\rm mc''}_{V\!Z} \coloneqq$  1- начальное приближение (необходимо для решения системы уравнений)

Given - задаем систему уравнений (два уравнения)

$$\begin{split} \text{mc"}_{\text{VZ}} &= \frac{1}{M_{2_1}} \cdot \begin{bmatrix} M_{\text{CO2}} \cdot | & 39.123 + 0.003349 \cdot t_z | & + M_{\text{O2}_1} \cdot | & 23.723 + 0.00155 \cdot t_z | & \dots \\ & + M_{\text{H2O}} \cdot | & 26.67 + 0.004438 \cdot t_z | & \dots \\ & + M_{\text{N2}_1} \cdot | & 21.951 + 0.001457 \cdot t_z | & \dots \end{bmatrix} \end{split}$$

 $\xi_{1} \cdot H_{\text{pa6.cm.}_{1}} + \left| \text{mc'}_{\text{vC}_{1}} + 8.315 \cdot \lambda \right| \cdot t_{\text{c}_{1}} + 2270 \cdot \left| \lambda - \mu_{1} \right| = \mu_{1} \cdot \text{mc''}_{\text{vz}} \cdot t_{\text{z}}$ 

 $\mathbf{x}\coloneqq \mathrm{Find}|\mathbf{t_Z},\mathrm{mc"}_{\mathbf{VZ}}|$  - находим решение системы ур-й, т.е. определяем  $\mathbf{t_Z}$  и  $\mathrm{mc"}_{\mathbf{VZ}}$ 

$$mc"_{VZ}$$

$$x = \begin{pmatrix} 2415.4 \\ 28.76 \end{pmatrix}$$

 $^{-}$  \ 28.76 \)  $t_{Z_1} \coloneqq x_1 \quad \text{mc"}_{vZ_1} \coloneqq x_2$  - решение системы уравнений

Given - задаем систему уравнений (два уравнения)

$$\begin{array}{l} \text{mc"}_{\text{VZ}} = \frac{1}{M_{2_2}} \cdot \left[ \begin{array}{l} M_{\text{CO2}} \cdot \left| \ 39.123 + 0.003349 \cdot t_z \right| + M_{\text{O2}_2} \cdot \left| \ 23.723 + 0.00155 \cdot t_z \right| \ \dots \\ + M_{\text{H2O}} \cdot \left| \ 26.67 + 0.004438 \cdot t_z \right| \ \dots \\ + M_{\text{N2}_2} \cdot \left| \ 21.951 + 0.001457 \cdot t_z \right| \end{array} \right] \end{array}$$

 $\xi_2 \cdot H_{\text{pa6.cm.}_2} + \left| \left. \text{mc'}_{\text{vC}_2} + 8.315 \cdot \lambda \right| \cdot t_{c_2} + 2270 \cdot \left| \left. \lambda \right| - \mu_2 \right| \\ = \mu_2 \cdot \text{mc''}_{\text{vz}} \cdot t_z$ 

 $\mathbf{x}\coloneqq \text{Find}\left[\mathbf{t}_{\mathbf{Z}},\text{mc"}_{\mathbf{VZ}}\right]$  - находим решение системы ур-й, т.е. определяем  $\mathbf{t}_{\mathbf{Z}}$  и

$$\mathbf{mc''}_{\mathbf{VZ}}$$
  $\mathbf{x} = \begin{pmatrix} 2566.04 \\ 29.05 \end{pmatrix}$   $\mathbf{t}_{\mathbf{Z}_2} \coloneqq \mathbf{x}_1$   $\mathbf{mc''}_{\mathbf{VZ}_2} \coloneqq \mathbf{x}_2$  - решение системы уравнений

Given - задаем систему уравнений (два уравнения)

$$\begin{aligned} \text{mc"}_{\text{VZ}} &= \frac{1}{\text{M}_{2_3}} \cdot \begin{bmatrix} \text{M}_{\text{CO2}} \cdot | & 39.123 + 0.003349 \cdot \text{t}_{\text{Z}} | & + \text{M}_{\text{O2}_3} \cdot | & 23.723 + 0.00155 \cdot \text{t}_{\text{Z}} | & \dots \\ & + \text{M}_{\text{H2O}} \cdot | & 26.67 + 0.004438 \cdot \text{t}_{\text{Z}} | & \dots \\ & + \text{M}_{\text{N2}_3} \cdot | & 21.951 + 0.001457 \cdot \text{t}_{\text{Z}} \end{aligned} \right]$$

$$\xi_{3} \cdot H_{\text{pa6.cm.}_{3}} + \left| \text{mc'}_{\text{vC}_{3}} + 8.315 \cdot \lambda \right| \cdot t_{\text{c}_{3}} + 2270 \cdot \left| \lambda - \mu_{3} \right| = \mu_{3} \cdot \text{mc''}_{\text{vz}} \cdot t_{\text{z}}$$

 $\mathbf{x}\coloneqq \mathrm{Find}|\mathbf{t_Z}, \mathrm{mc"}_{\mathbf{VZ}}|$  - находим решение системы ур-й, т.е. определяем  $\mathbf{t_Z}$  и  $\mathrm{mc"}_{\mathbf{VZ}}$ 

$$x = \begin{pmatrix} 2571 \\ 29.06 \end{pmatrix} \ t_{Z_3} \coloneqq x_1 \qquad \text{mc"}_{vZ_3} \coloneqq x_2$$
- решение системы уравнений

Given - задаем систему уравнений (два уравнения)

$$\begin{split} \text{mc"}_{\text{VZ}} &= \frac{1}{M_{2_4}} \cdot \left[ \begin{matrix} M_{\text{CO2}} \cdot \mid 39.123 + 0.003349 \cdot t_z \mid & + M_{\text{O2}_4} \cdot \mid 23.723 + 0.00155 \cdot t_z \mid & \dots \\ & + M_{\text{H2O}} \cdot \mid 26.67 + 0.004438 \cdot t_z \mid & \dots \\ & + M_{\text{N2}_4} \cdot \mid 21.951 + 0.001457 \cdot t_z \mid & \dots \end{matrix} \right] \end{split}$$

$$\xi_4 \cdot H_{\text{pa6.cm.}_4} + \left| \text{ mc'}_{\text{VC}_4} + 8.315 \cdot \lambda \right| \cdot t_{\text{c}_4} + 2270 \cdot \left| \lambda - \mu_4 \right| = \mu_4 \cdot \text{mc''}_{\text{VZ}} \cdot t_{\text{Z}}$$

 $\mathbf{x}\coloneqq \text{Find}|\mathbf{t_Z}, \mathbf{mc"_{V\!Z}}|$  - находим решение системы ур-й, т.е. определяем  $\mathbf{t_Z}$  и  $\mathbf{mc"_{V\!Z}}$ 

$$t_{Z} = \begin{pmatrix} 2415.4 \\ 2566 \\ 2571 \\ 2537.2 \end{pmatrix} \qquad T_{Z} = \begin{pmatrix} 2688.4 \\ 2839 \\ 2844 \\ 2810.2 \end{pmatrix}$$
 (K) mc"<sub>vZ</sub> = 
$$\begin{pmatrix} 28.76 \\ 29.049 \\ 29.059 \\ 28.994 \end{pmatrix}$$
 (kJ/kmol deg)

Максимальное давление сгорания теоретическое

$$p_{z_{j}} := p_{c_{j}} \cdot \lambda$$

$$p_{z} = \begin{pmatrix} 11.863 \\ 11.349 \\ 9.972 \\ 9.728 \end{pmatrix} \quad (MPa)$$

Максимальное давление сгорания действительное

$$p_{Z/I_j} := p_{Z_j}$$

$$p_{Z/I} = \begin{pmatrix} 11.86 \\ 11.35 \\ 9.97 \\ 9.73 \end{pmatrix}$$
 (MPa)

Степень повышения давления

$$\lambda_{ij} := \frac{p_{Z_{j}}}{p_{C_{j}}}$$

$$\lambda = \begin{pmatrix} 1.6 \\ 1.6 \\ 1.6 \\ 1.6 \end{pmatrix}$$

Степень предварительного расширения

$$\rho_j \coloneqq \frac{{}^{\mu} j \cdot {}^{T} Z_j}{{}^{\lambda} j \cdot {}^{T} c_j}$$

## 3.1.6 Процессы расширения и выпуска

Степень последующего расширения

$$\delta'_{j} := \frac{\varepsilon}{\rho_{j}}$$

$$\delta' = \begin{pmatrix} 14.37 \\ 13.38 \\ 13.08 \\ 13.25 \end{pmatrix}$$

Средние показатели адиабаты и политропы расширения

$$\mathbf{k}_{2} \coloneqq \begin{pmatrix} 1.2545 \\ 1.2540 \\ 1.2532 \\ 1.250 \end{pmatrix} \qquad \mathbf{n}_{2} \coloneqq \begin{pmatrix} 1.254 \\ 1.254 \\ 1.25 \\ 1.25 \end{pmatrix} \qquad \mathbf{T}_{Z} = \begin{pmatrix} 2688.4 \\ 2839 \\ 2844 \\ 2810.2 \end{pmatrix} \tag{K}$$

Давление и температура в конце расширения

$$p_{b_{j}} := \frac{p_{Z_{j}}}{\begin{vmatrix} s'_{j} \end{vmatrix}^{n_{Z_{j}}}} \qquad p_{b} = \begin{pmatrix} 0.42 \\ 0.44 \\ 0.4 \\ 0.38 \end{pmatrix}$$

$$T_{b_{j}} := \frac{T_{Z_{j}}}{\begin{vmatrix} s'_{j} \end{vmatrix}^{n_{Z_{j}}-1}} \qquad T_{b} = \begin{pmatrix} 1366.26 \\ 1469.03 \\ 1495.43 \\ 1473.02 \end{pmatrix}$$
(K)

Проверка ранее принятой температуры остаточных газов и погрешность расчета

$$T_{r_{j}} := \frac{T_{b_{j}}}{\sqrt[3]{p_{b_{j}}}}$$

$$T_{r} = \begin{pmatrix} 857.79 \\ 917.92 \\ 986.31 \\ 989.22 \end{pmatrix}$$

$$\Delta_{j} := \frac{100 \cdot |T_{r_{j}} - T_{r_{j}}|}{T_{r_{j}}}$$

$$\Delta_{j} := \frac{100 \cdot |T_{r_{j}} - T_{r_{j}}|}{T_{r_{j}}}$$

$$\Delta_{j} := \frac{0.92}{-3.38}$$

$$3.82$$

$$4.13$$

Температура остаточных газов принята удачно, так как ошибка не превышает 5 %

3.1.7 Индикаторные параметры рабочего цикла

Теоретическое среднее индикаторное давление

$$\begin{aligned} p'_{i_{j}} &\coloneqq \frac{p_{c_{j}}}{\epsilon - 1} \cdot \left[ \lambda_{j} \cdot \left| \rho_{j} - 1 \right| \right. + \frac{\lambda_{j}}{n_{2_{j}} - 1} \cdot \left( 1 - \frac{1}{n_{2_{j}} - 1} \right) - \frac{1}{n_{1_{j}} - 1} \cdot \left( 1 - \frac{1}{n_{1_{j}} - 1} \right) \right] \\ p'_{i} &= \begin{pmatrix} 0.87 \\ 0.89 \\ 0.81 \\ 0.78 \end{pmatrix} \quad (MPa) \end{aligned}$$

Среднее индикаторное давление если коэффициент полноты диаграммы

$$\phi_{\Pi} := 0.95$$

$$p_{i_{j}} := \phi_{\Pi} \cdot p'_{i_{j}}$$

$$p_{i} = \begin{pmatrix} 0.82 \\ 0.85 \\ 0.77 \\ 0.74 \end{pmatrix}$$
 (MPa)

Индикаторный коэффициент полезного действия (КПД) и индикаторный удельный расход топлива

$$\eta_{i_{j}} := \frac{p_{i_{j}} \cdot l_{0} \cdot \alpha_{j}}{Hu \cdot \rho_{0} \cdot \eta_{v_{j}}} \cdot 1000$$

$$\eta_{i} = \begin{pmatrix} 0.38 \\ 0.4 \\ 0.4 \\ 0.4 \end{pmatrix}$$

$$g_{i} := \frac{3600}{Hu \cdot \eta_{i_{j}}} \cdot 1000$$

$$g_{i} = \begin{pmatrix} 219.54 \\ 207.99 \\ 205.6 \\ 207.7 \end{pmatrix} (g/kW*h)$$

# 3.1.8 Эффективные показатели силового агрегата

S.:= 84 (mm) – предварительный ход поршня

Средняя скорость поршня

$$v_{\text{ncp}_{j}} := \frac{S \cdot n_{j}}{3 \cdot 10^{4}}$$
 $v_{\text{ncp}} = \begin{pmatrix} 2.24 \\ 7 \\ 12.6 \\ 13.44 \end{pmatrix}$  (m/s)

Среднее давление механических потерь

$$p_{M_j} := 0.089 + 0.0118 \cdot v_{\text{ II.CP}_j}$$
 
$$p_{M} = \begin{pmatrix} 0.12 \\ 0.17 \\ 0.24 \\ 0.25 \end{pmatrix}$$
 (MPa)

Среднее эффективное давление и механический КПД

$$p_{e_{j}} := p_{i_{j}} - p_{M_{j}}$$
 $\eta_{M} := \frac{p_{e_{j}}}{p_{i_{j}}}$ 
 $\eta_{M} = \begin{pmatrix} 0.86 \\ 0.8 \\ 0.69 \\ 0.67 \end{pmatrix}$ 
 $p_{e} = \begin{pmatrix} 0.71 \\ 0.68 \\ 0.53 \\ 0.49 \end{pmatrix}$ 
(MPa)

Эффективный КПД и эффективный удельный расход топлива

$$\eta_{e_{j}} := \eta_{i_{j}} \cdot \eta_{M_{j}} \quad g_{e} := \frac{3600}{\text{Hu} \cdot \eta_{e}} \cdot 1000 \quad \eta_{e} = \begin{pmatrix} 0.32 \\ 0.32 \\ 0.28 \\ 0.26 \end{pmatrix} \quad g_{e} = \begin{pmatrix} 255.26 \\ 260.8 \\ 297.96 \\ 312.26 \end{pmatrix} \quad (g/kW*h)$$

## 3.1.9 Основные параметры цилиндра силового агрегата

Принимаем согласно прототипу: D := 76 (mm); S = 84 (mm)

Уточнение основных параметров и показателей силового агрегата

$$\begin{split} V_{\Pi} &\coloneqq \frac{\pi \cdot D^2 \cdot S \cdot i}{4 \cdot 10^6} & V_{\Pi} = 1.524 \; (1) \\ V_{h} &\coloneqq \frac{V_{\Pi}}{i} & V_{h} = 0.38 \; (1) \\ F_{\Pi} &\coloneqq \frac{\pi \cdot \left| D \cdot 10^{-3} \right|^2}{4} & F_{\Pi} = 0.00454 \; (m^2) \\ N_{e_{j}} &\coloneqq \frac{p_{e_{j}} \cdot V_{\Pi} \cdot n_{j}}{30 \cdot \tau} & M_{e_{j}} &\coloneqq \frac{3 \cdot 10^4}{\pi} \cdot \frac{N_{e_{j}}}{n_{j}} & G_{T_{j}} &\coloneqq N_{e_{j}} \cdot g_{e_{j}} \cdot 10^{-3} \\ N_{e} &\coloneqq \begin{pmatrix} 7.21 \\ 21.46 \\ 30.24 \\ 29.99 \end{pmatrix} \; (kW) & M_{e} &\coloneqq \begin{pmatrix} 86.06 \\ 81.98 \\ 64.18 \\ 59.66 \end{pmatrix} \; (N*m) & G_{T} &\coloneqq \begin{pmatrix} 1.84 \\ 5.6 \\ 9.01 \\ 9.36 \end{pmatrix} \; (kg/h) \end{split}$$

Литровая мощность силового агрегата

$$N_{JI} := \frac{N_e}{V_{JI}}$$

$$N_{JI} = \begin{pmatrix} 4.73 \\ 14.08 \\ 19.84 \\ 19.67 \end{pmatrix}$$
 (kW/l)

### 3.2 Построение индикаторной диаграммы

хі.: 0.29 - отношение радиуса кривошипа к длине шатуна

$$S_{X_{k}} := \frac{S}{2} \cdot \left[ \left( 1 - \cos\left(\frac{k \cdot \pi}{180}\right) \right) + \frac{\lambda'}{4} \cdot \left( 1 - \cos\left(\frac{k \cdot \pi}{180} \cdot 2\right) \right) \right] + OA \qquad V_{X_{k}} := \frac{\pi \cdot S_{X_{k}} \cdot D^{2}}{4 \cdot 10^{6}}$$

$$k \coloneqq 1...160 \ k \coloneqq 160...360$$
  $p_{X_k} \coloneqq p_0$  -  $p_{X_k} \coloneqq p_{a_3} \cdot \left(\frac{V_{X_{120}}}{V_{X_k}}\right)^{n_1_3}$  - сжатие

$$k \coloneqq 360 + 15 ... 600$$
  $p_{x_k} \coloneqq p_{b_3} \cdot \left(\frac{V_{x_{600}}}{V_{x_k}}\right)^{n_2}$  - расширение

$$k \coloneqq 360..\ 360 + 15$$
  $p_{X_{\overset{}{k}}} \coloneqq p_{X_{\overset{}{3}60}} + \frac{p_{Z/\overset{}{1}_{\overset{}{3}}} - p_{X_{\overset{}{3}60}}}{15} \cdot (k - 360)$  - горение

$$k \coloneqq 600 - 60..600 \qquad p_{X_k} \coloneqq p_{X_{600} - 60} - \frac{p_{X_{600}} - p_0}{1.5} \cdot [k - (600 - 60)]$$

- начало открытия выпускного клапана

$$k \coloneqq 600...720$$
  $p_{X_{\stackrel{}{k}}} \coloneqq p_{X_{\stackrel{}{600}}} - \frac{p_{X_{\stackrel{}{600}}} - p_0}{180} \cdot (k - 600)$  - выпуск

График индикаторной диаграммы представлен на рисунке 3.1.

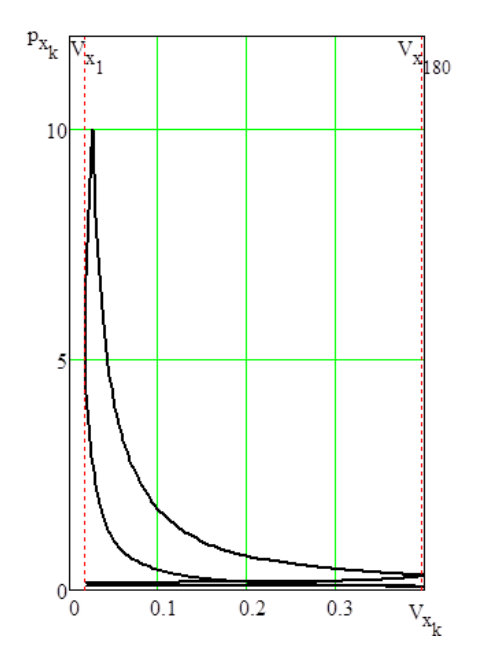


Рисунок 3.1 – Индикаторная диаграмма

На рисунке 3.2 показан график развернутой индикаторной диаграммы

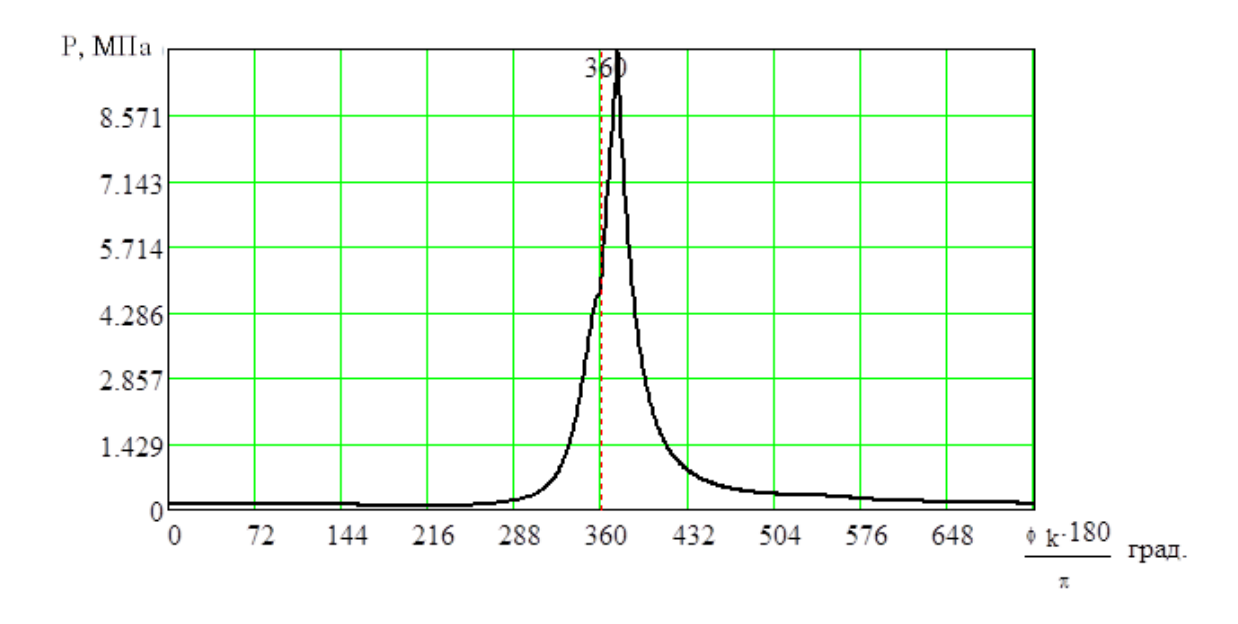


Рисунок 3.2 – Развернутая индикаторная диаграмма

# 3.3 Внешняя скоростная характеристика силового агрегата

$$n' := n_1, n_1 + 10... n_4$$

$$k_1 := \text{cspline } n, N_e$$

$$k_2 := \text{regress } n, M_e, 2$$

$$k_3 := \text{regress } n, g_e, 2$$

$$N_e(n') := \text{interp } k_1, n, N_e, n'$$

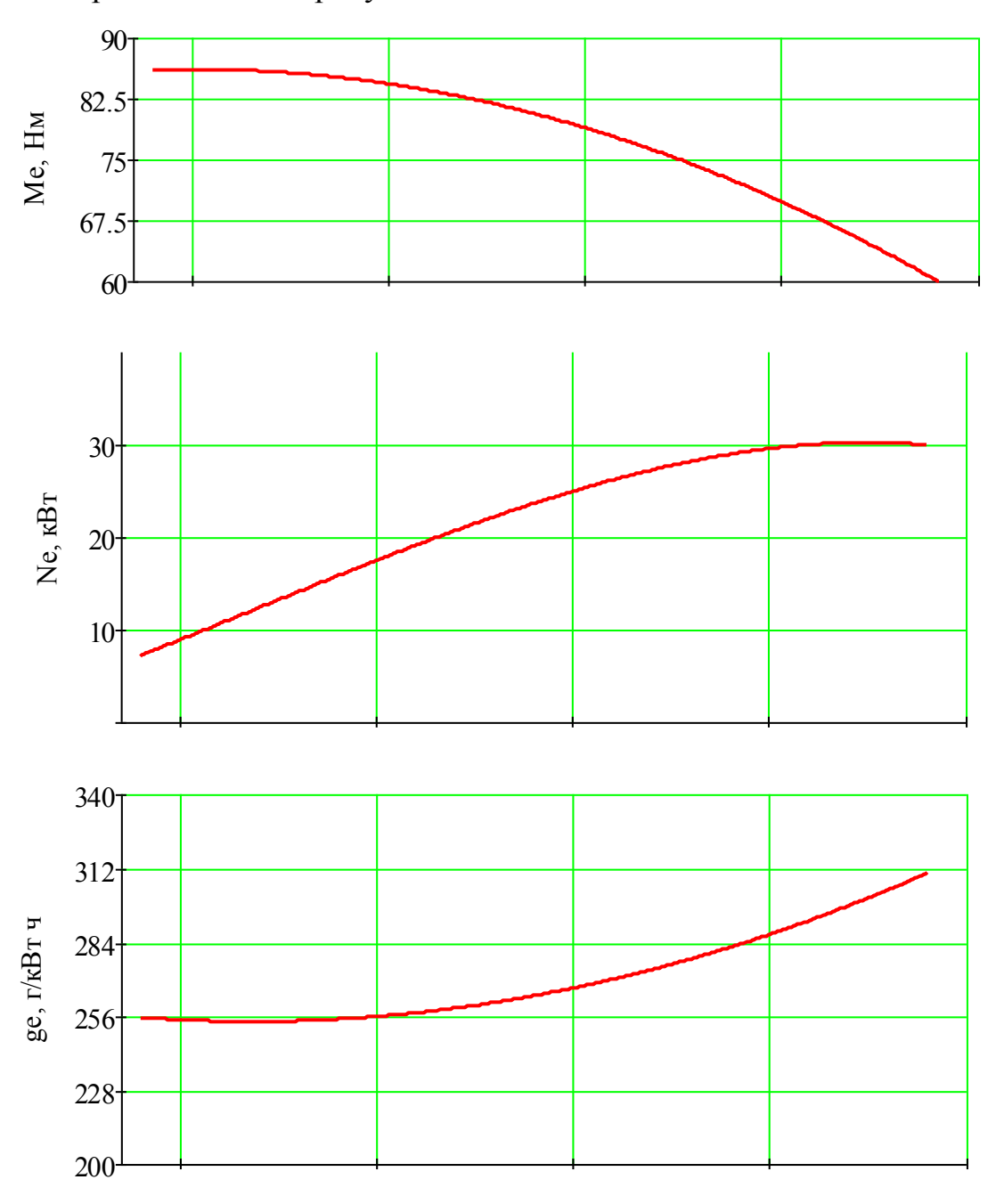
$$M(n') := \text{interp } k_2, n, M_e, n'$$

$$g_e(n') := \text{interp } k_3, n, g_e, n'$$

$$43$$

$$\begin{aligned} k_4 &\coloneqq \text{cspline } n \,, G_T \\ k_5 &\coloneqq \text{regress } n \,, \eta_V \,, 2 \\ k_6 &\coloneqq \text{cspline}(n \,, \alpha) \end{aligned} \qquad \begin{aligned} G_T(n') &\coloneqq \text{interp } k_4 \,, n \,, G_T \,, n' \\ \eta_V(n') &\coloneqq \text{interp } k_5 \,, n \,, \eta_V \,, n' \\ \alpha \,\, (n') &\coloneqq \text{interp } k_6 \,, n \,, \alpha \,\,, n' \end{aligned}$$

Построение графика внешней скоростной характеристики силового агрегата представлено на рисунке 3.3.



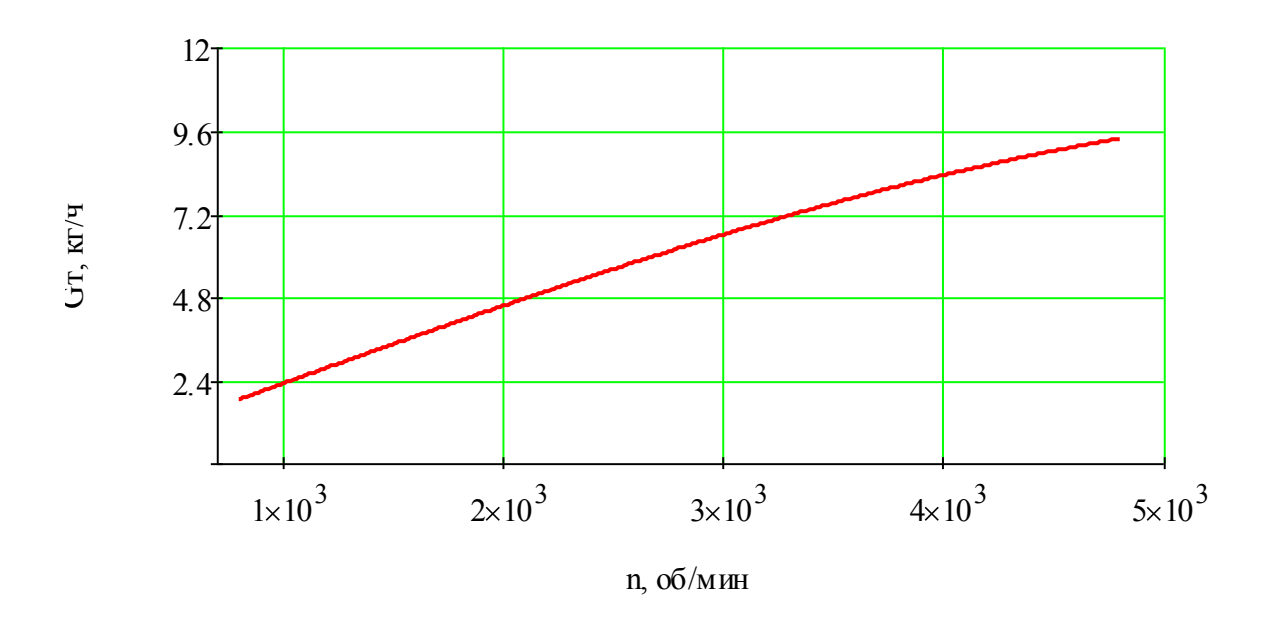


Рисунок 3.3 – Внешняя скоростная характеристика силового агрегата

### 3.4 Тяговый расчет автомобиля

Расчет трансмиссии дорожного автомобиля начинаем с главной передачи из следующих соображений. В трансмиссии угловая скорость может быть изменена в нескольких местах: в дополнительной коробке (грузовые автомобили), КП, РК (автомобили повышенной проходимости), главной передаче, колесном редукторе (в легковых автомобилях применяется редко). Однако, так как известен прототип то для дальнейшего расчёта были приняты следующие значения передаточных чисел:

#### Передаточные числа:

#### коробки передач

U1	3,7
U2	1,95
U3	1,36
U4	1
U5	0,82
главной передачи	4,1

В силовой баланс автомобиля при равномерном движении Fu=0) по горизонтальной дороге (Fn=0) входят только две силы

$$F_T = F_k + F_{\delta}$$
(3.4.1)

Составляющие баланса вычисляем по зависимостям

$$F_T = \frac{T_e \cdot i_{\kappa n} \cdot i_0 \cdot \eta_{mp} \cdot K_p}{r_{\kappa}}; \tag{3.4.2}$$

$$F_k = f_0 \cdot (1 + A_f \cdot V^2) \cdot G_a; \tag{3.4.3}$$

$$F_g = 0.5 \cdot c_x \cdot A \cdot \rho_g \cdot V^2; \tag{3.4.4}$$

переменными в балансе являются:

- момент Т<sub>е</sub> (зависит от угловой скорости силового агрегата);
- передаточное число  $i_{\kappa n}$  в КП (по гиперболическому ряду);
- КПД трансмиссии, зависит от передачи в КП или в РК;
- -текущая скорость Vавтомобиля;
- кинематический радиус  $r_k$  зависит от крутящего момента на колесе, но для упрощения этой зависимостью пренебрежем и примем  $r_k = r_c$ . Мощностной баланс получим, почленно умножив силовой баланс на скорость автомобиля:

$$P_T = P_T V \tag{3.4.5}$$

$$P_k = F_k V \tag{3.4.6}$$

$$P_{\rm B} = F_{\rm B} V \tag{3.4.7}$$

Расчет ведем для всех передач в КП при высшей передачи в РК, а также для первой и второй передач в КП при пониженной в РК передаче. Текущую скорость вычисляем по формуле:

$$V = \frac{\omega_e \cdot r_c}{i_0 \cdot i_{\kappa n} \cdot i_{p\kappa}}.$$
 (3.4.8)

Для построения динамического паспорта автомобиля необходимо вычислить для каждой передачи в КП (РК) динамический фактор

$$D_a(V) = \frac{F_T(V) - F_g(V)}{G_a}. (3.4.9)$$

Кроме того, на график выносится зависимость коэффициента сопротивления качению  $f_k(V)$ . Для построения номограммы необходимо найти верхний предел шкалы  $D_{0\,max}$ 

$$D_{0_{max}} = D_{a_{max}} \frac{G_a}{G_0}, (3.4.10)$$

где  $D_{a\;max}$  - верхний предел шкалы  $D_{a.}$ 

Данные тягового расчета представлены в Приложении А.

#### 4 Специальная часть

### 4.1 Система для регулировки подачи топлива общепринятая

Система для регулирования подачи природного газа (топлива) управляется ЭБУ, он в свою очередь формирует сигналы необходимые исполнительным устройствам, на основании сбора данных датчиков ЭСУД. Основное преимущество ЭСУД заключается в наличии у исполнительных устройств двух контуров. Один контур ЭСУД на основании сбора данных с датчиков регулирует количество газа подаваемого в ДВС и в необходимых пропорциях регулирует соотношение воздух/газ.

### 4.2 Разработанная система регулирования подачи топлива

Система подачи топлива (природного газа) управляется ЭБУ, который формирует необходимые сигналы исполнительному устройству – регулятору подачи газа, на основании опроса датчиков ЭСУД. Особенностью ЭСУД заключается В наличии двух датчиков: датчика частоты вращения коленчатого вала силового агрегата и датчика положения топливной рейки топливного насоса высокого давления (ТНВД). Вследствие того, что у дизельного силового агрегата качественное регулирование, а следовательно отсутствует дроссельная заслонка, то расход воздуха необходимый для определения цикловой подачи топлива с заданным коэффициентом избытка воздуха определяется по датчику частоты вращения коленчатого вала. Нагрузка на ДВС определяется по положению топливной рейки ТНВД. ЭБУ, обрабатывая сигнал с указных выше датчиков, формирует сигнал на исполнительный механизм. Регулятор подачи газа представляет собой устройство состоящее из корпуса, шагового двигателя и клапана. Шаговый силовой агрегат получив сигнал от ЭБУ изменяет положение штока клапана и тем самым изменяет проходное сечение клапана, а следовательно изменяет расход газа. Основным преимуществом такой системы регулирования подачи

газа является простота исполнения в совокупности с достаточной точностью регулирования подачи топлива. Вследствие закритического перепада давления на клапане влияние параметров во впускном коллекторе на характеристику подачи топлива — минимально. Следует отметить, что такая система может работать без датчика температуры т.к. изменение мощности из-за изменения плотности газа компенсируется необходимым положением топливной рейки и всережимным регулятором ТНВД. Принципиальная схема разработанной системы подачи топлива представлена на рисунке 4.1.

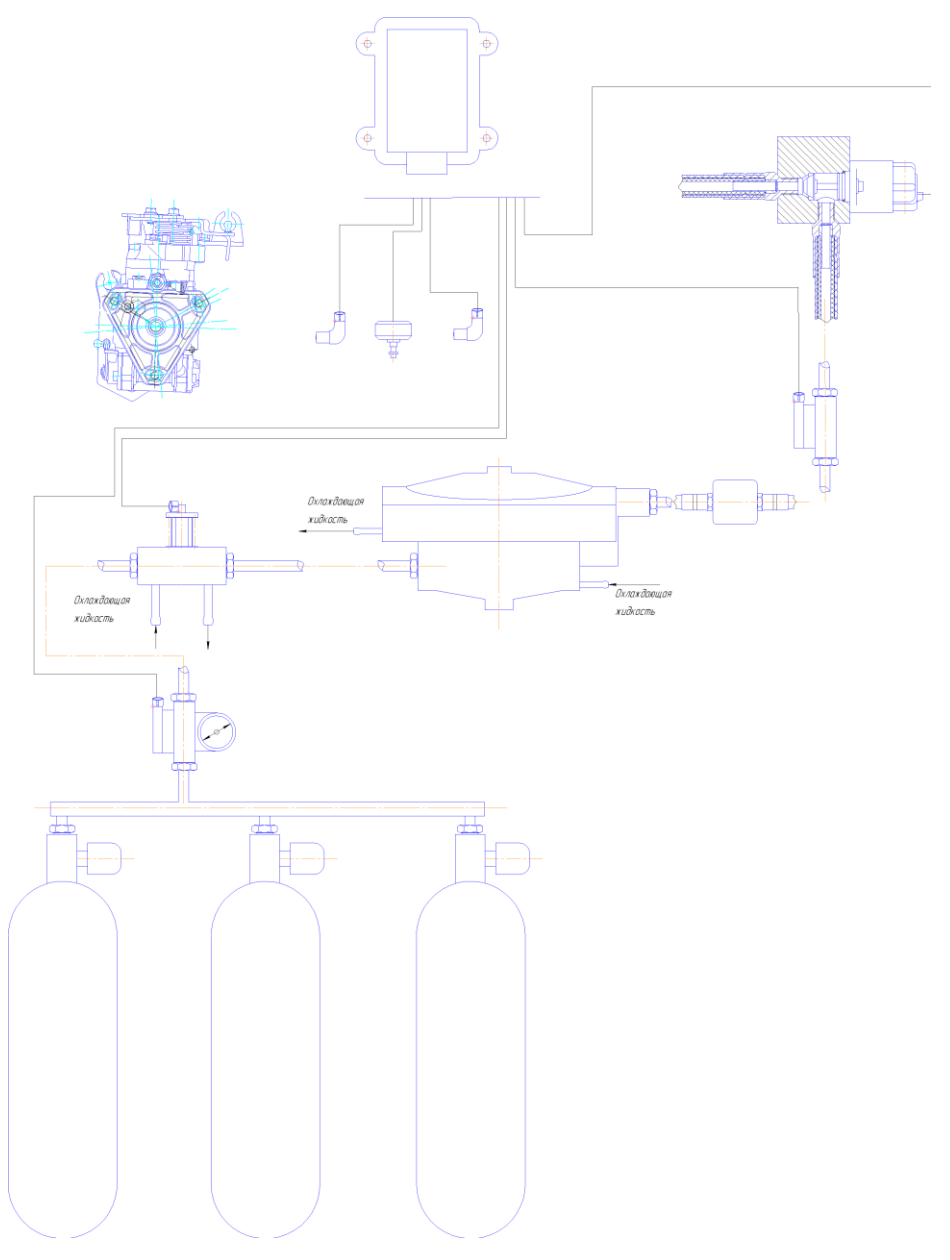


Рисунок 4.1 – Разработанная схема системы подачи природного газа

### 4.3 Расчет форсунки

Исходные данные:

Давление за регулятором  $P_a\coloneqq 1$  bar

Давление газа  $P_m \coloneqq 3.5 \text{ bar}$ 

Показатель адиабаты k := 1.4

Газовая постоянная R = 518

Температура газа  $T_a := 298 \, \mathrm{K}$ 

Расход метана необходимый для работы силового агрегата  $G := \begin{bmatrix} 3.13 \\ 11.8 \\ 21.45 \\ 22.85 \end{bmatrix}$  kg/h

-полученные на основании теплового расчета данные

$$\sigma := \frac{P_a}{P_m} \qquad \qquad \sigma = 0.286 \qquad \qquad \sigma > 0.52$$

Течение газа является надкритическим.

Определим секундный расход газа силового агрегата, kg/s

$$G' := \frac{G}{3600}$$

$$G' = \begin{pmatrix} 8.75 \times 10^{-4} \\ 3.278 \times 10^{-3} \\ 5.958 \times 10^{-3} \\ 6.347 \times 10^{-3} \end{pmatrix}$$

Характеристика жиклера расходная

$$\mu F := \frac{G'}{P_{m} \cdot 10^{5} \cdot \sqrt{\frac{2 \cdot 9.81 \cdot 0.52 \cdot (1 - 0.52)}{R \cdot T_{a}}}} \quad \mu F = \begin{pmatrix} 4.439 \times 10^{-7} \\ 1.663 \times 10^{-6} \\ 3.022 \times 10^{-6} \\ 3.22 \times 10^{-6} \end{pmatrix}$$

Если принять коэффициент m=0.85 то необходимая скважность форсунки должна составлять

$$F = \begin{pmatrix} 5.222 \times 10^{-7} \\ 1.956 \times 10^{-6} \\ 3.556 \times 10^{-6} \\ 3.788 \times 10^{-6} \end{pmatrix} \text{ m}^{2}$$

Приближенная формула погрешность приблизительно около 3 % Эквивалентный диаметр, на характерных режимах работы силового агрегата, распылителя форсунки:

$$d := \sqrt{\frac{4 \cdot F}{\pi}}$$

$$d = \begin{pmatrix} 8.154 \times 10^{-4} \\ 1.578 \times 10^{-3} \\ 2.128 \times 10^{-3} \\ 2.196 \times 10^{-3} \end{pmatrix}$$
 m или
$$d' := d \cdot 1000$$

$$d' = \begin{pmatrix} 0.815 \\ 1.578 \\ 2.128 \\ 2.196 \end{pmatrix}$$
 mm

Определим скважность форсунки при следующих данных:

Частота форсунки несущая f := 50 Hz

Диаметр распылителя форсунки принятый с условием обеспечения расхода газа  $d := 0.002 \, \mathrm{m}$ 

Расход газа массовый при принятом диаметре сопла в форсунке

$$\underbrace{\mathbf{m}} \coloneqq \left[ \mathbf{P}_{\mathbf{m}} \cdot 10^5 \cdot \sqrt{\frac{2 \cdot 9.81 \cdot 0.52 \cdot (1 - 0.52)}{\mathbf{R} \cdot \mathbf{T}_{\mathbf{a}}}} \right] \cdot \left( \pi \cdot \frac{\mathrm{d}^2}{4} \right) \quad \mathbf{m} = 6.193 \times 10^{-3} \; \text{kg/s}$$
 Скважность форсунки

$$\tau \coloneqq \frac{G'}{f \cdot m} \qquad \qquad \tau = \begin{pmatrix} 2.8257 \times 10^{-3} \\ 0.0106 \\ 0.0192 \\ 0.0205 \end{pmatrix} s$$

На рисунке 4.3 представлена зависимость расхода газа от скважности

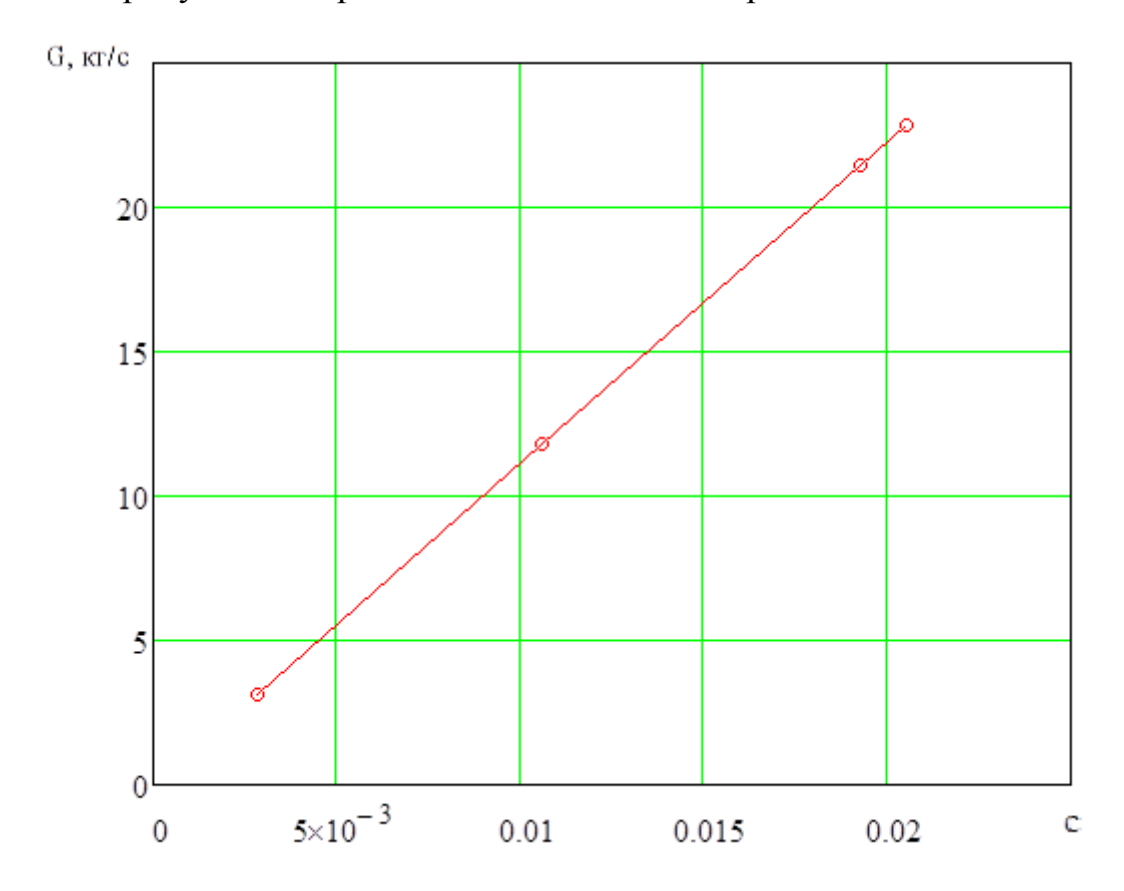


Рисунок 4.2 – Зависимость расхода газа от скважности

4.4 Техническое описание установки газобаллонного оборудования системы CNG на автомобиле

#### Общие предписания:

- 1) Должна быть обеспечена надлежащая и безопасная работа системы КПГ транспортного средства при рабочем давлении и рабочих температурах, на которое она рассчитана и для которого она официально утверждена;
- 2) Материалы, используемые в системе, должны быть совместимы с КПГ;
- 3) Все элементы системы должны быть надлежащим образом закреплены;
- 4) Система КПГ не должна давать утечки, т.е. не должна выделять пузырьков в течение 3 минут;
- 5) Система КПГ должна устанавливаться таким образом, чтобы обеспечивалась ее максимальная возможная защита от повреждений, например повреждений, вызванных смещением элементов оборудования транспортного средства, расположением, попаданием гравия или обусловленных загрузкой или разгрузкой транспортного средства либо смещением этих грузов;
- 6) К системе КПГ не должны подсоединяться никакие устройства, за исключением тех, наличие которых строго необходимо для обеспечения надлежащей работы силового агрегата механического транспортного средства.

### Дополнительные требования:

1) Никакой элемент системы КПГ, в том числе любой защитный материал, являющийся частью таких элементов оборудования, не должен выступать за внешние габариты транспортного средства, за исключением заправочного блока, причем последний не должен выступать из своего гнезда более чем на 10 мм;

2) Никакие элементы системы КПГ не должны располагаться в пределах 100 мм от системы выпуска отработавших газов или аналогичного источника тепла, если такие элементы оборудования не имеют надлежащего теплозащитного кожуха.

#### Установка баллонов:

- 1) Баллон устанавливается в транспортном средстве стационарно, причем он не должен устанавливаться в моторном отсеке;
- 2) Баллон устанавливается таким образом, чтобы не происходило контакта между металлическими поверхностями, за исключением контакта с узлами крепления баллона (баллонов);
- 3) На готовом к эксплуатации транспортном средстве расстояние между топливным баллоном и поверхностью дороги должно составлять не менее 200 мм.
- 4) Топливный баллон (топливные баллоны) или резервуар (резервуары) должен быть установлен и закреплен (должны быть установлены и закреплены) таким образом, чтобы при полных баллонах могли поглощаться следующие ускорения (без причинения повреждений): транспортные средства категорий М3 и N3:
  - а) 6,6 g по направлению движения;
- b) 5 g по горизонтали, перпендикулярной направлению движения. Вспомогательное оборудование баллонов:
  - 1) Автоматический клапан:
- автоматический цилиндрический клапан устанавливается непосредственно на каждом баллоне;
- автоматический клапан баллона должен срабатывать таким образом, чтобы подача топлива прекращалась при выключении силового агрегата независимо от положения ключа зажигания, и оставаться в закрытом

положении при неработающем силовом агрегате. Для диагностических целей допускается задержка в две секунды.

- 2) Предохранительное устройство:
- предохранительное устройство (срабатываемое при определенной температуре) устанавливается на топливном баллоне (топливных баллонах) таким образом, чтобы газы могли отводиться в газонепроницаемый кожух, если этот газонепроницаемый кожух отвечает требованиям пункта.
  - 3) Ограничительный клапан на баллоне:
- ограничительное устройство устанавливается в топливном баллоне (топливных баллонах) таким образом, чтобы газы могли отводиться в газонепроницаемый кожух.
  - 4) Клапан с ручным управлением:
- клапан с ручным управлением жестко крепится на резервуаре и может быть встроен в автоматический цилиндрический клапан;
  - 5) Газонепроницаемый кожух на баллонах:
- газонепроницаемый кожух, надеваемый поверх арматуры баллона (баллонов), устанавливается на топливном баллоне;
- газонепроницаемый кожух должен иметь открытый выход в атмосферу, при необходимости через соединительный шланг и отводящий патрубок, которые должны быть стойкими к действию КПГ;
- вентиляционный канал газонепроницаемого кожуха не должен отводить газы в надколесную арку или в направлении источника тепла, например системы выпуска отработавших газов;
- минимальная площадь сечения любого соединительного шланга или отводящего патрубка, проходящего по дну кузова механического транспортного средства и предназначенного для вентиляции газонепроницаемого кожуха, должна составлять 450 мм2.;

- газонепроницаемый кожух должен иметь открытый выход в атмосферу, при необходимости через соединительный шланг и отводящий патрубок, которые должны быть стойкими к действию КПГ;
- вентиляционный канал газонепроницаемого кожуха не должен отводить газы в надколесную арку или в направлении источника тепла, например системы выпуска отработавших газов;
- минимальная площадь сечения любого соединительного шланга или отводящего патрубка, проходящего по дну кузова механического транспортного средства и предназначенного для вентиляции газонепроницаемого кожуха, должна составлять 450 мм2.;
- кожух, надеваемый поверх арматуры баллона (баллонов), и соединительные шланги должны обеспечивать герметичность при давлении 10 кПа, не подвергаясь при этом какой-либо постоянной деформации;
- газонепроницаемый кожух должен иметь открытый выход в атмосферу, при необходимости через соединительный шланг и отводящий патрубок, которые должны быть стойкими к действию КПГ;
- вентиляционный канал газонепроницаемого кожуха не должен отводить газы в надколесную арку или в направлении источника тепла, например системы выпуска отработавших газов;
- соединительный шланг крепится с помощью хомутов или других средств к газонепроницаемому кожуху и отводящему патрубку, причем соединение между ними должно быть газонепроницаемым; газонепроницаемый кожух должен обеспечивать защиту всех элементов оборудования, установленных в багажном отделении или пассажирском салоне.

#### Жесткие и гибкие топливопроводы:

- жесткие топливопроводы должны быть изготовлены из бесшовной стали;

- жесткий топливопровод может быть заменен гибким топливопроводом на баллонах класса 0, 1 или 2;
- жесткие топливопроводы должны крепиться таким образом, чтобы они не подвергались вибрации или внешним нагрузкам;
- гибкие топливопроводы должны крепиться таким образом, чтобы они не подвергались вибрации или внешним нагрузкам;
- в точке крепления гибкие или жесткие топливопроводы должны устанавливаться таким образом, чтобы не было контактов между металлическими деталями; жесткие и гибкие топливопроводы не должны размещаться в месте расположения точек поддомкрачивания;

Фитинги или газовые соединения между элементами оборудования:

- паяные или сварные соединения, а также зубчатые соединения обжатием не допускаются;
- трубки из нержавеющей стали должны соединяться только при помощи фитингов из нержавеющей стали;
- жесткие топливопроводы должны сочленяться при помощи соответствующих соединений, например двухкомпонентных соединений обжатием в случае стальных трубок и оливкообразных соединений, обуженных с обеих сторон;
- количество соединений должно быть минимальным; все соединения должны находиться в доступных для осмотра местах;
- топливопроводы, проходящие через пассажирский салон или замкнутое пространство багажного отделения, должны иметь обоснованно необходимую длину и в любом случае должны быть защищены газонепроницаемым кожухом

Автоматический клапан:

- дополнительный автоматический клапан может устанавливаться в топливопроводе на максимально близком расстоянии от регулятора давления.

Заправочный блок или узел:

- крепление заправочного блока должно исключать возможность его вращения и обеспечивать его защиту от грязи и влаги.

#### 4.5 Анализ влияния CNG на элементы конструкции автомобиля в целом

Результаты теплового расчет газодизельного цикла показали, что максимальная мощность силового агрегата и максимальный крутящий момент на топливе CNG не превышает значений на дизельной силовой установке, соответственно можно предположить что нагрузки, действующие на трансмиссию автомобиля, не будут превышать допустимых величин в комплектации с дизельным силовым агрегатом. Так как процесс сгорания в газодизельном цикле значительно мягче, то этот факт благоприятно скажется на условиях работы КПП и трансмиссии автомобиля в целом. Максимальная мощность автомобиля оснащенного CNG по результатам расчета снижается на 20-30%, то соответствующая нагрузка на трансмиссию так же уменьшится в том же диапазоне.

Вес дополнительного оборудования (ГБО) составляет величину не более 100 – 120 кг, с учетом веса баллонов и всех дополнительных систем (трубки подводящие, редуктор, форсунки и т.д.). Исходя из этого нагрузка на элементы конструкции автомобиля – рама, подвеска и т.д. изменится не существенно.

Расположение баллонов в кормовой части автомобиля позволит обеспечить более равномерное распределение нагрузки по осям автомобиля, что при относительно небольшом весе ТС (950 кг) благоприятно скажется на ездовых качествах.

## 5 Безопасность и экологичность проекта

Паспорт безопасности объекта — это документ, который требуется на всех опасных сооружениях и производствах. Он помогает не только чрезвычайных ситуаций, сократить количество происходящих производстве по причине работы с потенциально опасными продуктами, но и нужен для разработки плана на случай ЧС. Благодаря тому, что в Главном управлении МЧС находятся паспорта для всех опасных объектов на подконтрольной территории, повышается техногенная безопасность, а в случае аварии и персонал, и спецслужбы точно знают как действовать. Плюс ко всему, организации, работающие с взрывоопасными, радиоактивными, химическими И биологическими веществами, получают гарантию безопасности во время их производства, перевозки и использования. Промышленный уровень безопасности значительно повышается.

Создается и утверждается паспорт безопасности опасного объекта по нормам, установленным Российским законодательством, а также Приказом МЧС РФ. Основные документы, регулирующие разработку и предоставление документа были утверждены более десятилетия назад, но содержащиеся там рекомендации и правила актуальны и сегодня.

Необходимо разрабатывать паспорт безопасности по следующим причинам:

- оценка последствий в случае аварийной ситуации или ЧС;
- расчет рисков для персонала, оборудования, производства и населения;
- установление плана дальнейших действий для восстановления после происшествия;
- анализ подготовленности персонала на случай аварии, готовность персонала материальной базы к устранению последствий;

- составление плана действий для увеличения уровня защиты, а также проведение подробного инструктажа среди работников.

В документе фиксируются все вышеуказанные факторы с указанием уровня подготовленности, безопасности и степени риска. После заполнения один экземпляр остается на предприятии, а другой отправляется в местное самоуправление, которому поручено контролировать данный объект. Некоторые моменты могут вноситься в паспорт дополнительно, в зависимости от индивидуальных особенностей учреждения. Замена документа производится раз в 5 лет, а также в случае смены деятельности, реорганизации.

Существуют специальные организации, занимающиеся подготовкой, разработкой и согласованием бумаг в соответствии с Российским законодательством. К выбору подрядчика стоит подходить с особой ответственностью, чтобы проверка была наиболее полной и достоверной.

Помимо работы с веществами, объект может быть причислен к опасным, если на нем:

- установлено и введено в эксплуатацию оборудование, которое работает под высоким давлением или при температурах нагрева воды или выше;
- если на производстве или в здании присутствуют грузовые подъемники, канатные дороги, фуникулеры, эскалаторы и иные движущиеся подъемные механизмы для подъема посетителей, сотрудников или иных предметов и грузов;
- если на объекте производятся или обрабатываются плавкие металлы с применением технологий расплава или обжига;
- если на территории объекта ведутся любые горные работы, связанные с добычей или обогащением ископаемых, рытьем подземных

шахт, взрывом пород, либо иные горно-геологические работы, кроме эмпирических изысканий.

Таким образом, можно сделать вывод, что потенциально опасный объект - это любое здание, сооружение или территория, которые отвечали бы хотя бы одному из перечисленных критериев. Паспорт безопасности опасного объекта необходим для предотвращения угрозы для живых существ и природы.

## 5.1 Оценка профессиональных угроз здоровью

Профессиональная угроза здоровью – риск причинения вреда здоровью в следствии влияния вредных и (либо) опасных производственных условий при выполнении производственных работ работником.

Таблица 4.1 – Перечень основных профессиональных угроз здоровью

Наименование фактора	Источник возникновения		
Повышенная запыленность воздуха рабочей зоны	При проведении работ по зачистке плоскостей от загрязнений, поднимаемая с пола при возникновении утечек воздуха		
Токсические: испарения ядовитых веществ	При обезжиривании поверхностей при помощи растворителя или ацетона, при смазывании поверхностей клеем, при проведении работ с клеем, при сварочных работах.		
Резкий запах	Специфический запах ГСМ, возникающий при работе с растворителями и едкими жидкостями.		
Едкие и ядовитые вещества	При разборке прикипевших и загрязненных резьбовых соединений.		
Недостаточная освещенность рабочей зоны	При работе в труднодоступных местах.		
Электромагнитное излучение, высокое напряжение	При работе сварочного трансформатора		

### 5.2 Технические средства для обеспечения ПБ

Средства пожаротушения являются неотъемлемой частью всей системы безопасности. На производственных объектах и там, где повышенная опасность возникновения аварийных ситуаций, связанных с возгораниями, наличие технических средств для ликвидации пожаров обязательно. Требования к ним описаны в соответствующем техническом регламенте и отраслевых актах нормативной литературы. Некоторые правила и их своды выпущены во времена СССР, но продолжают действовать до сих пор.

Для локализации и ликвидации пожаров в помещениях используют стационарные установки пожаротушения. Они состоят из различных технических средств. Их назначение определяет наполнение огнетушащими веществами. Работа установок построена на принципах объемного или поверхностного тушения пожаров. Встречаются также установки с локальнообъемным, либо локально-поверхностным способом работы.

Действие стационарных установок направлено на локализацию возникшего пожара. Предполагается, что с помощью них можно бороться с начальной стадией пожара или небольшими возгораниями. По принципу включения бывают автоматические с местным или дистанционным управлением. Они нужны для обеспечения безопасности на крупных объектах, чтобы предотвратить значительный ущерб и снизить риск появления пострадавших. Все установки подобного типа регулярно подвергаются обследованиям и проверкам на исправность. Тушение должно производиться в любой момент, если есть необходимость.

Стационарные установки пожаротушения состоят из трубопроводов, в случае с наполнением из воды, пара или пены. Система трубопроводов соединяет автоматические устройства и оборудование. Приборы реагируют

на повышенную температуру, сигнал передается на датчики. Затем происходит включение насосов, подающих воду.

При первых признаках пожара необходимо задействовать такие первичные средства пожаротушения, как огнетушители. Их действие направлено на ликвидацию небольших по площади и силе возгораний. Эффект отсутствует, если масштабы возгорания резко увеличиваются или применение огнетушителя небезопасно в данной ситуации.

Их заряжают водой, порошками из химических соединений, инертными газами. Вид вещества влияет на применение огнетушителя. Не все подходят для ликвидации возгорания электрических устройств с высоким напряжением или для тушения в замкнутых пространствах.

Наличие огнетушителя в любых офисных и производственных помещениях обусловлены требованиями законодательства в части пожарной безопасности.

Пожарный инструмент - лопата совковая, багор.

В случае возникновения чрезвычайной ситуации ключевую роль играет оперативность донесения информации до лиц, здоровью и жизни которых грозит опасность. Правильная и быстрая оценка вновь возникших обстоятельств позволяет выбрать наиболее оптимальные способы и методы защиты. Время донесения информации не должно превышать пять минут. За это время должны быть оповещены соответствующие органы и лица, расположенные в месте чрезвычайного происшествия.

Своевременное реагирование позволит не только сохранить жизнь и здоровье людей, а также минимизировать размер материального ущерба от последствий. Создание ЛСО на производствах и промышленных предприятиях является первостепенной задачей штаба Гражданской обороны.

Локальная система оповещения — представляет собой комплекс технических средств оповещения на потенциально опасных объектах, промышленных предприятиях, производствах.

Первоочередной задачей ЛСО является: оповещение персонала о чрезвычайном происшествии, доведение до сведения информации руководству потенциально опасного объекта, службам гражданской обороны, спасателям, доведение до сведения информации руководству потенциально опасного объекта, службам гражданской обороны, спасателям;

Практика и анализ происходящих чрезвычайных ситуаций показали, что наибольшее количество происшествий, носящих техногенный характер, в результате которых возникает угроза жизни и здоровью людей, а также приносящих существенный материальный ущерб происходят на промышленных и производственных объектах. Размещение локальных систем оповещения является не просто необходимостью, а требованием действующего законодательства РФ в этой сфере. Промышленные объекты, на которых высока вероятность аварии можно разделить на четыре основных группы, представляющие опасности: химическую, радиационную, пожарную и взрывоопасную, гидродинамическую.

Локальная система оповещения зрения представляет собой целостный комплекс взаимосвязанных технических средств. В его структуру входит основной блок управления, как правило, это компьютеризированная система, либо матричный блок управления. Коммутационный блок сигналов. Источники распространения и усиления звукового оповещения. Полноценная действующая система локального оповещения включает в себя сирены или иные средства подачи тревожных сигналов, приспособления для голосового и речевого оповещения, ламповые или светодиодные индикаторы, маяки и подобные средства визуального сообщения. Звуковая система оповещения, издавая сигналы информирует людей о произошедшей чрезвычайной

ситуации либо аварии. На потенциально опасных объектах разрабатываются положения о порядке действий в случае возникновения аварии, дополнительные рекомендации и инструкции могут сообщаться через громкоговорители.

Голосовое оповещение считается наиболее информативным и продуктивным способом оповещения. Требование к созданию систем оповещения является обязательным на потенциально опасных объектах и регламентируется рядом законодательных актов РФ.

В таблице 4.2 представлены опасные факторы пожара в зоне текущего ремонта.

Таблица 4.2 – Идентификация классов и опасных факторов пожара

Участок, отделения (зона) и используемое в нем оборудование	Вредоносные и опасные факторы при возникновении пожара	Класс пожаро- опасности
Агрегатное	Основные факторы:	A
отделение	пониженная концентрация кислорода, искры и	
Технологическое	пламя, тепловой поток, повышенная концентрация	
оборудование	токсичных продуктов горения и термического	
	разложения, повышенная температура окружающей	
	среды.	
	Сопутствующие проявления пожара:	
	Части, фрагменты разувшихся строений, построек и	
	т.п, опасные факторы взрыва, воздействие	
	огнегасящих элементов	

Пожаробезопасность агрегатного отделения обеспечивается наличием в отделении пожарной сигнализации, в которые встроены датчики присутствия дыма и датчики тепла. К основным средствам пожаротушения относятся огнетушители типа огнетушитель углекислотный порошковый (ОУП), который должен располагаться на стене, а кроме того контейнер с песком для присыпки случайно пролитых легковоспламеняющихся эксплуатационных материалов.

5.3 Обеспечение природоохранной безопасности рассматриваемой зоны (участка, отделения) предприятия

Таблица 4.3 – Идентификация экологических факторов

Наименование технологического процесса, технического объекта или участка	Используемые стенды, приспособления, устройства, механизм. Кто использует	Влияние на атмосферу	Влияние на гидросферу	Влияние на литосферу
Агрегатное отделение	Стенды, оборудование,	Масленые испарения	не выявлено	упаковки запчастей, спецодежда, масло
	производствен ный персонал			отработанное.

- 5.4 Мероприятия по снижению отрицательного антропогенного воздействия на окружающую среду
- С целью охраны окружающей среды от отрицательного антропогенного влияния в виде загрязнения её вредоносными элементами (веществами) обычно выделяют следующие мероприятия:
- технологические (создание безотходных и малоотходных производств;
  - санитарно-технические.

Таблица 4.4— Перечень мероприятий, определяющих экологические факторы устройства, оборудования

Наименование технического объекта	Агрегатное отделение
Мероприятия, способствующие	Применение фильтров в имеющихся на участке
снижению негативного	вытяжных шкафах (зондах).
антропогенного влияния на	Контроль за состоянием качества воздуха в зоне
атмосферу	выполнения работ
Мероприятия, способствующие уменьшению негативного антропогенного влияния на литосферу	Индивидуальная ответственность за сохранность окружающей среды. Сбор и складирование отходов осуществляется в специальные закрытые контейнеры, бочки установленные в специально отведенных местах. Вывоз отходов производиться силами специализированных организаций, с которыми заключается договор на вывоз, утилизацию и захоронение.
Мероприятия, способствующие уменьшению негативного антропогенного влияния на гидросферу	Переработка и захоронение сбросов, отходов, выбросов, стоков и осадков сточных вод с соблюдением мер по предотвращению загрязнения почв. Персональная ответственность за охрану окружающей среды.

В разделе «Безопасность и экологичность объекта» были:

- 1. Выявлены профессиональные риски угрозы здоровью работников при осуществлении технологического процесса, выполняемых технологических операций, видов производимых работ на стенде. Определены опасные и вредные производственные факторы к которым относятся детали и механизмы стенда, его подвижные элементы, умственное перенапряжение рабочих и монотонность работы.
- 2. С целью снижения профессиональных рисков были разработаны организационно-технологические мероприятия с применением технических средств для обеспечения противопожарной безопасности в гаражной мастерской.
- 3. Были определены класс пожарной опасности и вредные и опасные факторы пожара в гаражной мастерской, а также выявлен основной список средств пожаротушения.

## 6 Экономическая эффективность проекта

Весь мир интересует проблема защиты воздушной среды больших городов от вредных загрязнений. Россия, далеко опережает многие страны по количеству ядовитых выбросов производимых автомобильными силовыми агрегатами. По данным Мчскомприроды, на каждого москвича выбросы автотранспорта загрязняющих веществ ежегодно составляют по 120 кг. Количество автомобилей в Москве увеличивается и приближается к 3-ем миллионам, отсюда не сложно рассчитать экологический ущерб от сгорания 1 тонны топлива, он равен 880 тыс. рублей. Альтернативный вид топлива, применяемы в автомобилях, газ. Его выбросы не наносят существенного вреда окружающей среде.

Перевести на газовое топливо автомобиль – лучший способ сделать его экологически безвредным. Автомобили, которые загрязняют атмосферу, отравляют людей и весь животный мир, не имеют право находится на дорогах страны.

Поэтому, исходя из необходимости установки дополнительного газового оборудования следует провести расчет для определения экономического эффекта от внедрения проекта.

## 6.1 Расчет себестоимости проектируемого силового агрегата

Данные для расчета себестоимости проектируемого силового агрегата представлены в таблице 6.1.1.

Таблица 6.1.1 – Данные для расчета

No No	Наименование показателей	Обозначе	Ед.	Источник
112	паименование показателей	ние	ъд. ИЗМ.	ИСТОЧНИК
A	1	2	3	4
	Программа выпуска изделия годовая	$V_{\text{год.}}$	ШТ.	50000
	Единый социальный налог. Коэффициент	Есоц.	%	
_	отчислений.	2-соц.	70	35,6
3	Общезаводские расходы. Коэффициент.	Еобзав.	%	175
	Коммерческие (внепроизводственные) расходы.	E <sub>ком.</sub>	%	~
	Коэффициент.	nom.		5
5	Расходы на содержание и эксплуатацию	Еобор.	%	200
	оборудования. Коэффициент.	•		200
6	Транспортно – заготовительные расходы.	$K_{T3p.}$	%	4
	Коэффициенты.			4
7	Цеховые расходы Коэффициент.	Ецех	%	125
8	Расходы на инструмент и оснастку.	Еинс.	%	5
	Коэффициент			3
9	Рентабельность и плановые накопления.	$K_{peht.}$	%	30
	Коэффициент.			30
10	Доплаты или выплаты не связанные с	$K_{\text{вып.}}$	%	10
	работой на производстве. Коэффициент			10
11	Премии и доплаты за работу на	Кпрем.	%	18
	производстве. Коэффициент			
	Возвратные отходы. Коэффициент.	Квот	%	3
13	Оптовые цены используемых материалов	Цм	Руб.	
	Сталь			200
	Чугун			134
	Алюминий			335
14	Норма расхода материала	$Q_{\scriptscriptstyle M}$	Кг	
	Сталь			20
	Чугун			45
	Алюминий			15
15	Оптовая цена покупных изделий	Ці	руб	
	полуфабрикатов			
	Клапанно – редукторная группа			2.100
	Газовый баллон			2.000
	Газопроводы			1.320
	Заправочное устройство			650
	Комплект газовых форсунок			1.930

16	Количество покупных изделий и	Ni	ШТ	
	полуфабрикатов			
	Клапанно – редукторная группа			1
	Газовый баллон			1
	Газопроводы			1
	Заправочное устройство			1
	Комплект газовых форсунок			1
17	Тарифная часовая ставка і-го разряда	$C_{pi}$	руб	
	Рабочий 3 разряда			21,65
	Рабочий 4 разряда			23,12
18	Трудоемкость выполнения і-ой операции	Ti	час	
	Заготовительные			0,3
	Сборочные			4,2
	Испытательные			4,0
19	Капиталообразцющие инвестиции.	Кинв	%	0,15
	Коэффициент			0,13

Статья «Сырье и материалы» расчет затрат:

$$M = \coprod_{M} *Q_{M} (1 + K_{T3D}/100 - K_{BOT}/100),$$
 (6.1.1)

где Цм - цена материала оптовая і-го вида, руб.,

 $Q_{\rm M}$  –расходная норма материала і-го вида, кг, м.

 $K_{\mbox{\tiny T3p}}$  — расходы транспортно-заготовительного характера, коэффициент, %  $K_{\mbox{\tiny BOT}}$  — коэффициент возвратных отходов , %.

$$M = 16.170 \; (1 + 4 \, / \, 100 \, - 2 \, / \, 100 \; ) = 16.500 \; \; py 6$$

В таблице 6.1.2. приведён расчет затрат на материалы и сырье.

Таблица 6.1.2 – Расчет затрат на материалы и сырье.

$N_{\overline{0}}$		•	Средняя цена	
	Материалы	Норма	за ед.	Сумма, руб.
	типтериалы	расхода	измерения,	Cymma, pyo.
			руб.	
1.	Сталь	20.0	255	5.100
2.	Чугун	45.0	134	6.030
3.	Алюминий	15.0	336	5.025
			Итого:	16.170
			<b>К</b> тзр	4%
			Квот	3%
			Всего:	16.500

Статья «Покупные полуфабрикаты и изделия» расчет затрат:

$$\Pi_{\text{H}} = \text{Li*ni} (1 + K_{\text{rsp}} / 100),$$
 (6.1.2)

где Ці — цена оптовая покупных полуфабрикатов и изделий, руб. ni — покупные изделия и полуфабрикаты, шт.

6. 
$$\Pi_{\text{H}} = 8.000*(1+4/100) = 8.320 \text{ py6}$$

В таблице 6.1.3 представлен расчет затрат на покупные полуфабрикаты и изделия

Таблица 6.1.3 - Расчет затрат на покупные полуфабрикаты и изделия.

	<del>, '</del>	, , , , , , , , , , , , , , , , , , ,	1	
$N_{\underline{0}}$	Наименование	Количество	Средняя цена за	Сумма, руб.
п/п	полуфабрикатов	Количество	1шт, руб.	
1.	Клапанно – редукторная	1	2.100	2.100
	группа			
2.	Газовый баллон	1	2.000	2.000
3.	Газопроводы	1	1.320	1.320
4.	Заправочное устройство	1	650	650
5.	Комплект газовых форсунок	1	1.930	1.930
			Итого:	8.000
			Ктзр	4%
			Всего:	8.320

Статья «Основная заработная плата производственных рабочих» расчет затрат:

$$3o=3T (1+ K_{\text{прем.}}/100), \text{ py6.}$$
 (6.1.3)

Где - Зт – тарифная ззаработная плата, руб

$$3T = Cp.i * Ti ,py6.$$
 (6.1.4)

где - Ср.і- тарифная ставка почасовая, руб,

Ті- показатель трудоемкости выполнения операции, час.

 $K_{\text{прем.}}$  – коэффициент премий и доплат, , %.

В таблице представлен расчет заработной платы производственных рабочих 6.1.4.

Таблица 6.1.4 - Расчет заработной платы производственных рабочих

<b>№</b> п/п	Виды операций	Разряд работы	Трудоемк ость	Часовая тарифная ставка, руб.	Тарифная зарплата, руб.
1.	Заготовительные	3	4,3	22,60	97,18
2.	Сборочные	3	4,3	22,60	97,18
3.	Испытательные	4	4,1	24,10	98,81
				Итого:	293,17
Кпрем					
	345,94				

Статья «Дополнительная заработная плата производственных рабочих» расчет затрат:

$$3_{\text{доп}} = 3_{\text{o}} * K_{\text{вып}}, \text{ руб},$$
 (6.1.5)

где  $K_{\text{вып}}$  – коэффициент выплат или доплат не связанных с работой на производстве,%

$$3_{\text{доп}} = 345,94*0,1=34,59$$
 руб

Статья «Отчисления в единый социальный налог» расчет затрат:

$$C_{\text{cou}} = (3_0 + 3_{\text{доп}}) * E_{\text{cou}}, \text{ py6},$$
 (6.1.6)

где  $E_{\text{соц}}-$  коэффициент отчислений в социальные фонды, %

$$C_{coii} = (345,94+34,59)*0,356=135,47$$
 py6

Статья «Расходы на содержание и эксплуатацию оборудования» расчет затрат

$$C_{\text{сод. of}} = 3_{\text{o}} * E_{\text{of op}}, \text{pyf}, \tag{6.1.7}$$

где  $E_{\text{обор}}$  – коэффициент расходов на содержание и эксплуатацию оборудования, %

$$C_{\text{сод. oб}}$$
= 345,94\*2=691,88 руб

Статья «цеховые расходы» расчет затрат:

$$C_{\text{nex}} = 3_0 * E_{\text{nex}}, \text{ py6},$$
 (6.1.8)

где Е<sub>пех</sub> – коэффициент цеховых расходов,%

$$C_{\text{nex}} = 345,94*1,25=432,42 \text{ py6}$$

Статья «Расходы на инструмент и оснастку» расчет затрат:

$$C_{\text{инстр}} = 3_{\text{o}} * E_{\text{инстр}}, \text{ py6},$$
 (6.1.9)

где Е<sub>инстр</sub> – коэффициент расходов на оснастку и инструмент, %

$$C_{\text{инстр}} = 345,94*0,05=17,29 \text{ py}$$

Цеховая себестоимость расчет:

$$C_{\text{nex}} c/c = M + \Pi_{\text{M}} + 3_{\text{o}} + 3_{\text{non}} + C_{\text{con}} + C_{\text{con} \cdot \text{of}} + C_{\text{nex}} + C_{\text{uhctp}}$$
 (6.1.10)

$$C_{\text{nex}}$$
 c/c=16500+8320+345,94+34,95+135,47+691,88+432,42+17,29=26477,95 py6

Статья «Общезаводские расходы» расчет затрат:

$$C_{o6 \cdot 3aB} = 3o * E_{o6 \cdot 3aB}, py6,$$
 (6.1.11)

где  $E_{\text{об.зав}}$  – коэффициент общезаводских расходов, %

$$C_{\text{об.зав}} = 345,94*1,75 = 605,3$$
 руб

Общезаводской себестоимости, расчет:

$$C_{\text{of.3aB}} c/c = C_{\text{of.3aB}} + C_{\text{lex}} c/c, \text{ pyf}$$
 (6.1.12)  
 $C_{\text{of.3aB}} c/c = 605,3 + 26477,95 = 27083,34 \text{ pyf}$ 

Статья «Коммерческие расходы» расчет затрат:

$$C_{\text{kom}} = C_{\text{of.3aB}} c/c * E_{\text{kom}}$$
 $C_{\text{kom}} = 27083,34*0,05=1354,1 \text{ pyf}$ 
(6.1.13)

Полная себестоимости, расчет:

$$C_{\text{полн}} = C_{\text{об.зав}} c/c + C_{\text{ком}}$$
 (6.1.14)

$$C_{\text{полн}} = 27083,34+1354,1=28437,5$$
 руб

Расчет отпускной цены базового и проектируемого силового агрегата:

где Крент – коэффициент плановых накоплений и рентабельности,%

$$\coprod_{\text{отп}} \pi = 28437,5* (1+0,3) = 36968,7$$
 руб  $\coprod_{\text{отп}} \text{ б} = 27083,34* (1+0,3) = 35208,3$  руб

В таблице 6.1.15 представлены Затраты на производство базового и проектируемого двигателя

Таблица 6.1.15. - Затраты на производство базового и проектируемого двигателя

	атели			г
№	Наименование	Обознач.	Затраты на ед. изд. (база)	Затраты на ед. изд. (проект)
1	Основные материалы. Стоимость	M	15180	16500
2	Комплектующие изделия. Стоимость	Пи	1320	8000
3	Основная заработная плата производственных рабочих	3 <sub>0</sub> .	340,2	345,94
4	Дополнительная заработная плата производственных рабочих	З <sub>доп</sub> .	32,95	34,95
5	Отчисления на социальные нужды	$C_{\rm cou.h}$	127,47	135,47
6	Расходы на содержание и эксплуатацию оборудования	С <sub>сод.обор</sub>	615,2	691,88
7	Цеховые расходы	Сцех	432,42	435,3
8	Расходы на инструмент и оснастку	Синстр	17,29	17,29
9	Цеховая себестоимость	C <sub>uex</sub> c/c	26477,95	26477,95
10	Общезаводские расходы	Соб.завод	605,3	605,3
11	Общезаводская себестоимость	Собз. с/с	27083,34	26286,07
12	Коммерческие расходы	$C_{\text{kom}}$	1314,30	1354,1
13	Полная себестоимость	Спол	27083,34	28437,5
14	Отпускная цена	Цопт	35208,3	36968,7

#### 6.2 Анализ порога безубыточности

Для аналитического и графического определения точки безубыточности рассчитаем следующие показатели: Переменные затраты:

на единицу изделия

$$3_{\text{перем.vi}} = M + \Pi_{\text{II}} + 3_{\text{o}} + 3_{\text{поп}} + C_{\text{coii}}$$
(6.2.1)

 $3_{\text{перем.уд}} \pi = 16500 + 8320 + 345,94 + 34,95 + 135,47 = 25336,26 \text{ py6}$  $3_{\text{перем.уд}} 6 = 15180 + 1320 + 340,2 + 32,95 + 127,47 = 17000,62 \text{ py6}$ 

на годовую программу выпуска изделия

$$3_{\text{перем.}} = 3_{\text{перем.уд}} * V_{\text{год}}$$

$$(6.2.2)$$

 $3_{\text{перем}}$ .п = 25336,26 \*50000=1266813 тыс.руб

 $3_{\text{перем}}$ .б = 17000,62 \*50000=850031 тыс.руб

#### Постоянные затраты:

на единицу изделия

$$3_{\text{пост.уд}} = (C_{\text{сод.обор}} + C_{\text{инстр}}) * 0,87 + C_{\text{цех}} + C_{\text{об.зав}} + C_{\text{ком}} + A_{\text{м.уд}}$$

Где А<sub>м.уд</sub> – амортизационные отчисления, руб;

$$A_{\text{м.уд}} = (C_{\text{сод.обор}} + C_{\text{инстр}}) * H_{\pi}$$

$$(6.2.3)$$

 $H_{_{\! 1}}$  – амортизационные отчисления, %

 $H_{\rm II} = 13\%$ 

$$A_{\text{м.уд}} \delta = (615,2+17,29)*0,13=82,2 \text{ py}\delta$$

$$3_{\text{пост.уд}}$$
 б=  $(615,2+17,29)*0,87+432,1+605,3+1314,30+82,2=2987,3$  руб

$$A_{\text{M,VJ}} \Pi = (691,88+17,29)*0,13=92,19 \text{ py}$$

$$3_{\text{пост.уд}} \pi = (691,88+17,29)*0,87+435,3+605,3+1354,1+92,19 = 3103,8 \text{ py6}$$

на годовую программу выпуска

$$3_{\text{пост.}}$$
 п =  $3_{\text{пост.уд}} * V_{\text{год}} = 3103,8 *50000 = 1551933$  тыс.руб (6.2.4)

 $3_{\text{пост}}$ .б = 2987,3\*50000=1493650 тыс.руб

Полная себестоимость годовой программы выпуска:

$$C_{\text{полн. r}} = C_{\text{полн}} * V_{\text{год}}$$

$$(6.2.5)$$

 $C_{\text{полн. r}}$  п= 28437,5\*50000=1421875 тыс.руб

 $C_{\text{полн. r}}$ б= 27083,34\*50000=1354167 тыс.руб

Выручка от реализации изделия:

Выручка = 
$$\coprod_{\text{опт.}} *V_{\text{год}}$$
 (6.2.6)

Выручка  $\pi = 36968,7*50000 = 1848435$ тыс.руб

Выручка б = 35208,3\*50000= 1760415 тыс.руб

Критический объем продаж:

$$A_{\text{кp}} = 3_{\text{пост.}} / (\coprod_{\text{отп.}} - 3_{\text{перем.уд.}})$$
 (6.2.8)  
 $A_{\text{кp}} = 15519339 / (36968,7 - 25336,26) = 13341 \text{ шт}$ 

 $\Delta = (50000 \text{-} 13341)/(6 \text{-} 1) = 7332 \text{ meV}$ 

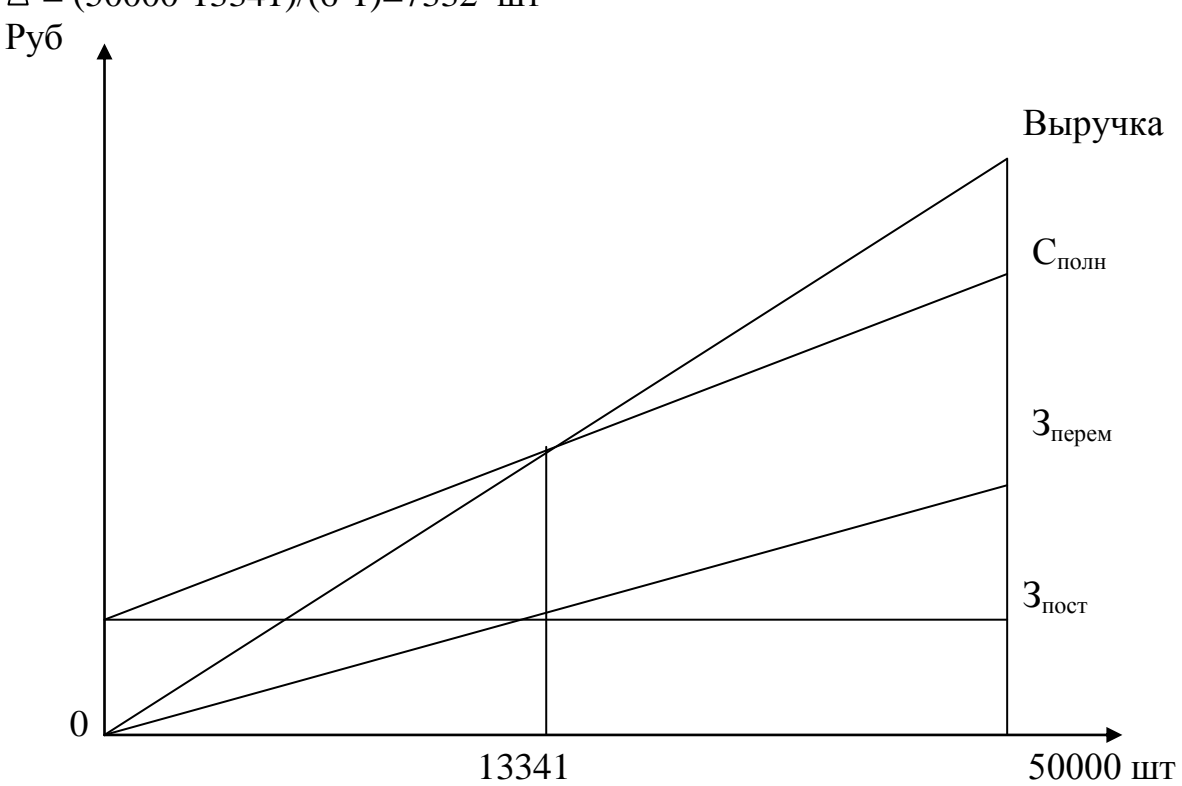


Рисунок 6.1 – графический метод определения точки безубыточности

# 6.3 Расчет коммерческой эффективности проекта Годовая выручка:

Выручка i = Цотп \*Vпрод.i (6.3.1)

Выручка 1 б= 727861тыс.руб	Выручка 1 п= 764254тыс.руб
Выручка 2 б=986008 тыс.руб	Выручка 2 п=1035308тыс.руб
Выручка 3 б=1244155тыс.руб	Выручка 3 п=1306363тыс.руб
Выручка 4 б=1502303тыс.руб	Выручка 4 п=1577417тыс.руб
Выручка 5 б=1692287тыс.руб	Выручка 5 п=1848472тыс.руб

Годовые затраты:

 $3_{\text{перем.}} i = 3_{\text{перем.уд}} *V_{\text{прод.}i}$  (6.3.2)

$3_{\text{перем}}$ 1б = 147667тыс.руб	$3_{\text{перем}}$ $1\pi = 220070,7$ тыс.руб
3 <sub>перем</sub> .2б =272316тыс.руб	$3_{\text{перем}}.2\pi = 405836,2$ тыс.руб

З <sub>перем</sub> . 3б =396964тыс.руб	3 <sub>перем</sub> . 3п =591601,6тыс.руб
3 <sub>перем</sub> . 4б =521613тыс.руб	3 <sub>перем</sub> . 4п =777367,1тыс.руб
З <sub>перем</sub> . 5б =646262тыс.руб	$3_{\text{перем}}$ . $5\pi = 963132,5$ тыс.руб

Амортизационные отчисления:

$$A_{M} = A_{M VJ} * V_{roJ} = 92,19 *50000 = 4609$$
тыс.руб (6.3.3)

Себестоимость по годам, полная:

$$C_{\text{полн.}}$$
  $i = 3_{\text{перем.}}$   $i + 3_{\text{пост}}$  (6.3.4)

 $C_{\text{полн}}$ . 16 = 147667+149365=297032тыс.руб

 $C_{\text{полн}}$ . 26 = 272315 + 149365 = 421680тыс.руб

 $C_{\text{полн.}}$  3б = 396964+149365=546329тыс.руб

 $C_{\text{полн}}$ . 46 = 521613 + 149365 = 670978тыс.руб

 $C_{\text{полн}}$ . 56 = 646261 + 149365 = 795626тыс.руб

 $C_{\text{полн.}}$  1п =220070+155193=375263тыс.руб

 $C_{\text{полн}}$ .  $2\pi = 405836 + 155193 = 561029$ тыс.руб

 $C_{\text{полн}}$ .  $3\pi = 591601 + 155193 = 746794$ тыс.руб

 $C_{\text{полн}}$ .  $4\pi = 777367 + 155193 = 932560$ тыс.руб

 $C_{\text{полн}}$ .  $5\pi = 963132 + 155193 = 1118325$ тыс.руб

6.4 Расчет общественной эффективности проекта

Расчет экономии от снижения расхода топлива. Расчет годовых моточасов работы силового агрегата при средних оборотах ДВС

$$Z=Дк*Th*a$$
, час/год (6.4.1.1.)

Где Дк – количество календарных дней в году, Дк=356;

Тн – продолжительность работы в сутки, Тн=8 час;

а - коэффициент использования силового агрегата, а= 0,7.

$$Z=356*8*0,7=1993,6$$
 час/год (6.4.1.2)

Расчет объема транспортной работы

$$W = Z * Ne* b * r , \kappa BT/4ac$$
 (6.4.1.3)

Где Ne- мощность ДВС при  $\pi = 2500$  мин, кВт;

b – коэффициент использования моточасов, b= 0,6;

r – коэффициент использования мощности, r= 0,95.

 $W_{\Pi} = 2*44,6*0,6*0,95=50,84 \text{ kBt/yac}$ 

W6 = 2\*57,2\*0,6\*0,95=65,21 kBt/yac

Расчет затрат на топливо

$$3_T = \coprod_T * ge * K_3 ,py6/ \kappa B_T * vac$$
 (6.4.1.4)

Где де – удельный расход топлива, кг/кВт\*час;

Цт – цена топлива, руб/кг;

 $K_3$  – коэффициент повышения расхода топлива в зимний период ,  $K_3$ = 1,04.

3 T m = 5.6\*3\*1.04=17.47 py6/ kBr\*4ac

3т б = 7\*7\*1,04=50,96 руб/ кВт\*час

Расчет годовых эксплуатационных затрат базового и нового силового агрегата при одном и том же объеме транспортной работы

$$C = W \cdot 3_T$$
, py6. (6.4.1.5)

 $C \pi = 50,84*17,48=888,3 \text{ руб}$  $C \delta = 65,21*50,96=3323 \text{ руб}$ 

Годовая экономия от снижения расхода топлива равна:

$$\Gamma_{3.T.} = C_{H.} - C_{0.}$$
, руб. (6.4.1.6)

$$\Gamma_{3.T.} = 3323-888,3=2434,7$$
 py6

Уменьшение ущерба от выброса вредных веществ

Снижение ущерба от выбросов вредных веществ можно расчитать по формуле:

$$У_{9} = У_{6} - У_{H} = 10^{-3} \cdot Z_{70} \cdot \Sigma (N_{7}.i.6.*C_{7}.i.6.*f_{7}.6. + N_{3}.i.6.*C_{3}.i.6.*f_{3}.6.) *N - 10^{-3} \cdot Z_{70} \cdot \Sigma (N_{7}.i.H.*C_{7}.i.H.*f_{7}.H. + N_{3}.i.H.*C_{3}.i.H.*f_{3}.H.) *N$$
 (6.4.2.1)

где Уб.;Ун. – ущерб от выброса вредного вещества автомобилем базовым и новым, соответственно

Nr.i – пробеговый выброс вредного вещества в городе, г/км;

Nз.i – пробеговый выброс вредного вещества за городом, г/км;

Ст.і. – удельный ущерб от выброса вредного вещества в городе, руб/т

Сз.і. – удельный ущерб от выброса вредного вещества за городом, руб/т

Zгод – средний годовой пробег, Zгод=15 000 км

N – коэффициент, учитывающий изменение выброса вредного вещества в зависимости от пробега автомобиля с начала эксплуатации , N=0,504.

fг. – доля годового пробега автомобиля в городе

 $f_3$ . — доля годового пробнга автомобиля за городом  $y_9=10*15000((2,72*3380*50,4+2,72*4830*49,6)+(0,77*8700*50,4+0,77*13050*49,6)+(0,2*9670*50,4+$ 

0,2\*14500\*49,6))\*0,504- 10\*15000((2,721180\*50,4+2,72\*1687\*49,6)+(0,77\*10733\*50,4+ 0,77\*16100\*49,6)+(0,2\*55602,5\*50,4+0,2\*83375\*49,6))\*0,504=7120,64 руб Исходные данные для расчета экономии от снижения расхода топлива и уменьшения выбросов вредных веществ.

Таблица 6.4.2.1 - Исходные данные для расчета

No॒	Наименование показателей	Ед.изм.	Базовый	Новый	
ПП			силовой	силовой	
			агрегат	агрегат	
	Распределение пробега автомобиля:				
	- в городе	%	50,4	50,4	
	- вне города	%	49,6	49,6	
	Нормы ЕЭК ООН на удельное				
	содержание вредных веществ в				
	отработанных газах:				
	CO	$\Gamma/KM$	2,72	0,95	
	СнНт	$\Gamma/KM$	0,77	0,95	
	$NO_x$	$\Gamma/KM$	0,20	1,15	
				·	

Таблица 6.4.2.2 - Удельный ущерб от выброса вредных веществ в атмосферу

No	Вредные вещества	Ед.из	Базовый	Новый
$\Pi/\Pi$		М.	силовой	силовой
11/11			агрегат	агрегат
1	CO	Руб/т	3370-4810*	1170-1669
2	СнНт	Руб/т	8690-12950*	10693-16025
3	$NO_x$	Руб/т	9662-14470*	55597,4-
	*Примечание: Верхние значения			83368
	ущерба принимаются для города,			
	нижние – для движения вне			
	города.			

Суммирование полученных эффектов определяет общественнозначимую экономию:

Эобщ. = 
$$\Gamma$$
э.т. +  $У$ э\*Vi. +  $\Pi$ р.ож.д. +  $\Pi$ ри.ож.н. (6.4.2.2)

Эобщ.1 = 2334,7+7120,64\*(11405+7719\*1)=136177,45 тыс.руб Эобщ.2 = 2334,7+7120,64\*(11405+7719\*2)=191141,67 тыс.руб Эобщ.3 = 2334,7+7120,64\*(11405+7719\*3)=246105,89 тыс.руб

Эобщ.4 = 2334,7+7120,64\*(11405+7719\*4)=301070,11 тыс.руб Эобщ.5 = 2334,7+7120,64\*(11405+7719\*5)=356034,33 тыс.руб

Прибыль облагающаяся налогами по годам:

Пр.обл.і б = Выручка б.- Сполн.б (6.4.2.3)

Пр.обл.і п = Выручка п.- Сполн.п (6.4.2.4)

Пр.обл. 1 б = 47292 тыс.руб Пр.обл. 1 п = 82798 тыс.руб Пр.обл. 2 б = 105848 тыс.руб Пр.обл. 2 п = 165589 тыс.руб Пр.обл. 3 б = 164403 тыс.руб Пр.обл. 3 п = 248284 тыс.руб Пр.обл. 4 б = 222964 тыс.руб Пр.обл. 4 п = 331099 тыс.руб Пр.обл. 5 б = 281529 тыс.руб Пр.обл. 5 п = 413989 тыс.руб

Налог на прибыль-24% от прибыли облагающейся налогами по годам:

$$Hпр.i = Пр.обл.i *0,24$$
 (6.4.2.5)

Нпр.16 =11350 тыс.рубНпр.1п =19873тыс.рубНпр.26 =25403тыс.рубНпр.2п =39743тыс.рубНпр.3б =39457 тыс.рубНпр.3п =59615тыс.рубНпр.4б =53511тыс.рубНпр.4п =79785тыс.рубНпр.5б =67567 тыс.рубНпр.5п =99362тыс.руб

Чистая прибыль, рассчитываемая по годам:

$$\Pi$$
р.ч. $i = \Pi$ р.обл. $i - H$ пр. $i$  (6.4.2.6)

 $\Pi$ р.ч1б =35942 тыс.руб  $\Pi$ р.ч2б =80444тыс.руб  $\Pi$ р.ч2б =80444тыс.руб  $\Pi$ р.ч2б =125855тыс.руб  $\Pi$ р.ч2б =124946тыс.руб  $\Pi$ р.ч2б =188780 тыс.руб  $\Pi$ р.ч2б =169453 тыс.руб  $\Pi$ р.ч2б =213962тыс.руб  $\Pi$ р.ч2б =314645 тыс.руб  $\Pi$ р.ч2б =314645 тыс.руб

Чистый доход, рассчитываемый по годам:

Чд1 =112175тыс.руб

Чд2 =148716тыс.руб

Чд3 =185258 тыс.руб

Чд4 =221804 тыс.руб

Чд5 =258337тыс.руб

Дисконтирование денежного потока:

Норматив дисконтирования Е=20%

=0,833; =0,694; =0,579; =0,482; =0,402.

Чистый дисконтированный доход:

ЧДД1=93442тыс.руб ЧДД2=103209тыс.руб ЧДД3=107264тыс.руб ЧДД4=106910тыс.руб ЧДД5=103851тыс.руб

#### Суммарный ЧДД:

ЧДД=513977,81 тыс.руб

Потребность в капиталообразующих инвестициях:

$$Jo = Кинв * Сполн.уд.$$
 (6.4.2.9)  $Jo = 0,1*3798999,9=379899,99$  тыс.руб

Индекс доходности:

$$JD = ЧДД / J0$$
 (6.4.2.10)  $JD=514675,93 / 388822,99=1,3$ 

Срок окупаемости:

Токуп= 
$$J0 / ЧДД= 388822,99 /514675,93=0,75$$
 года (6.4.2.11)

Чистый дисконтированный доход:

ЧДД = ЧДД – 
$$Jo=514675,93-388822,99=126115,87$$
 тыс.руб (6.4.2.12)

Таблица 6.4.2.3 - Показатели экономической эффективности проекта

№	Наименование			Годы		•	
		0	1	2	3	4	5
1.	Объем продаж $V_{прод}$ , шт		19122	26841	34560	42279	50000
2.	Отпускная цена за единицу продукции Ц <sub>отп</sub> , руб				36968,7		
3.	Выручка, тыс.руб		764253,9	1035308, 4	1306362, 9	1577417, 4	1848471, 9
4.	3 <sub>перем</sub> Переменные затраты, тыс.руб		220070,7	405836,2	591601,6	777367,1	963132,5
5.	A <sub>м</sub> Амортизация, тыс.руб				4609		
6.	Сполн Полная себестоимость, тыс.руб		375264	561030	746795	932561	1118326
7.	Прибыль облагаемая		82799	165589	248284	331100	413988

	налогом, тыс.руб					
8.	Налог на прибыль (от прибыли облагаемая налогом), тыс.руб	19871	39696	59604	79455	99287
9.	Прибыль чистая, руб	62929,5	125854,7	188779,7	251703,9	314644,8
10	ЧД. Чистый поток реальных денег, тыс.руб	112175,1	148716,2	185257,6	221804,2	258336,6
11	E=20% Коэффициент дисконтирования при	0,833	0,694	0,579	0,482	0,402
12	ЧД* (E). Чистый дисконтированный поток реальных денег	595615,7	496214,4	413978,1	34465,3	287410,4
13	Јо Капиталообразую щие инвестиции, тыс.руб	379899,99				
14	ЧДД Суммарный чистый дисконтированный поток реальных денег, тыс.руб	513977,81				
15	JD Индекс доходности	1,3				
16	Т <sub>окуп</sub> Срок окупаемости проекта, мес.	9				
17	ЧДД. Чистый дисконтированный доход, тыс.руб			126115,87		

#### 6.5 Выводы и анализ полученных экономических показателей

Предложенное техническое решение повышает конкурентоспособность автомобилей, как на внутреннем, так и на внешнем рынке. Несмотря на то, что происходит удорожание автомобиля в целом, это компенсируется удешевлением и снижением расхода топлива. Кроме того, снижение количества вредных выбросов, поступающих в окружающую среду удовлетворяет современным нормам токсичности.

Определение критического объема производства показало, что годовой объем выпущенной продукции не только способен покрыть все расходы, связанные с производством, но получить прибыль.

Нормативный коэффициент эффективности равен Eн=0,3. Расчетный коэффициент эффективности больше нормативного Ep>Eн.

Чистый дисконтированный доход положителен и составляет 125,8 миллионов рублей, т.е. проект является эффективным.

Индекс доходности JD>1, поэтому проект эффективен.

Срок окупаемости проекта составляет 0,75 года, что характеризует проект как не рискованный.

#### Заключение

В данной работе произведена оценка возможностей и эффективности использования в качестве топлива природного газа. Результаты работы позволяют сделать основные заключения:

- рекомендовано использовать природный газ в качестве газомоторного топлива;
  - рассчитана и спроектирована система питания природным газом;
- сделаны расчеты, которые показали работоспособность системы питания;
- использование природного газа на 10-15 % уменьшает расход топлива и снижает мощность примерно на 10 %;
- применение газодизельного цикла позволяет улучшить экологичность автомобиля;
- следует ожидать некоторое уменьшение шума силового агрегата вследствие уменьшения жесткости сгорания ( $dP/d\varphi$ );
- проведено технико-экономическое обоснование проекта, показавшее, что чистый дисконтированный доход положителен и составляет примерно 515 миллионов рублей, т.е. эффективность проекта реальна. Окупаемость проекта составляет 0,75 года, что характеризует проект как не рискованный и позволяет за небольшой срок вернуть вложенные в него средства.
- проведено исследование достигнутого уровня техники показавшее, что предложенный усовершенствованный объект соответствует уровню развития этого вида техники.

#### Список используемых источников

- 1. Колчин А. И. , Демидов В.П. «Расчет автомобильных и тракторных двигателей», Учеб. пособие для вузов. 2-е изд., перераб и доп. М.: Высш. школа, 1980. 439 С.
- 2. Попык К. Г. «Динамика автомобильных и тракторных двигателей», 2-е изд., перераб и доп. М.: Высш. школа, 1970. 327С.
- 3. Топливная экономичность автомобилей с бензиновыми двигателями: Т. У. Асмус и др.; Под ред. Кострова.- Машиностроение ,1988. 687C.
- 4. Воинов А.Н. "Процессы сгорания в быстроходных поршневых двигателях" , М.-"Машиностроение", 1965. 387С.
- 5. Взоров Б. А., Мордухович М. М., Форсирование тракторных двигателей, М., Машиностроение, 1974. 134C.
- 6. Афонин С.А. «Газовое оборудование автомобилей Легковые, грузовые», Практическое руководство. Ростов на Дону, 2001. 52С.
- 7. Терентьев Г.А. и др. «Моторные топлива из альтернативных сырьевых ресурсов». М, Химия, 1989. 272С.
- 8. Ameri M., Kiaahmadi F., Khanaki M. Comparative analysis of the performance of a dual-fuel internal combustion engine for CNG and gasoline fuels. [Текст] Journal of Power Technologies, year 2012, pp. 214–226.
- 9. E. Pipitone, F. Cagnes, A. Beccari "Performance Prevision of a Turbocharged Natural Gas Fuelled S.I. Engine," SAE Technical Paper 2008-36-0058.
- 10.Fraser, N., Blaxill, H., Lumsden, G., and Bassett, M., «Challenges for Increased Efficiency through Gasoline Engine Downsizing» SAE Int. J. Engines 2(1):991-1008, 2009, doi:10.4271/2009-01-1053

- 11. Zurbriggen f. Diesel-minimal combustion control of a natural gas-diesel engine. [Текст] institute for dynamic systems and control, year 2016, pp. 302–311.
- 12. Степанов В.Н. Тюнинг автомобильных двигателей. СПб, 2000
- 13. E. Pipitone, F. Cagnes, A. Beccari "Performance Prevision of a Turbocharged Natural Gas Fuelled S.I. Engine," SAE Technical Paper 2008-36-0058.
- 14. Arnold, S., "Turbocharging Technologies to Meet Critical Performance Demands of Ultra-Low Emissions Diesel Engines," SAE Technical Paper 2004-01-1359. 2004, doi:10.4271/2004-01-1359.
- 15. Kolmanovsky, 1., Stefanopoulou, A.G., and Powell, B.K.. Improving turbocharged diesel engine operation with turbo power assist system. In Proceedings of the IEEE Int. Conf on Control Application, 1999.
- 16. Heikrodt K., Rotary Piston Supercharger for Spark Ignition and Diesel Engines. SAE-paper 890456, 1989.
- 17. Katrasnik, Tomas, Trenc, Ferdinand, Medica, Vladimir, and Markic, Stojan. An analysis of turbocharged diesel engine dynamic response improvement by electric assisting systems. ASME, Journal of Engineering for Gas Turbines and Power, 127, October 2005.
- 18. Lake, T., Stokes, J., Murphy, R., Osborne, R. et al., "Turbocharging Concepts for Downsized DI Gasoline Engines," SAE Technical Paper 2004-01-0036. 2004, doi: 10.4271/2004-01-0036.
- 19. T. Naganuma, M. Iko, T. Sakonji, F. Shoji: "Basic Research on Combustion Chambers for Lean Burn Gas Engines", 1992 Int. Gas Research Conf.
- 20. Вихерт М.М., Грудский Ю.Г. Конструирование впускных систем быстроходных дизелей, М., Машиностроение, 1982.

## ПРИЛОЖЕНИЕ А

(обязательное)

### Тяговый расчет газодизельного автомобиля

Исходные данные:	
Марка автомобиля	Сержант
Тип привода	Полноприв.
Полная масса, т, кг	900
Передаточные числа:	
коробки передач	
U1	3,7
U2	1,95
U3	1,36
U4	1
U5	0,82
главной передачи	4,1
Габаритные размеры:	
ширина В, м	1,68
высота Н, м	1,64
Тип и размер шин	16
Коэф. перераспределения веса на ведущие колеса λ	1
Коэф. деформации шин $\Delta$	0,15
Коэф. сопротивления воздуха К,	0,3
Условия эксплуатации:	
Горизонтальный участок дороги	
с асфальтобетонным покрытием:	
коэф. сопротивления качению, f	0,015
коэф. сцепления, ф	0,7
Количество посадочных мест	2
КПД трансмиссии	0,9

Характеристики силового агрегата

Частота вращения коленчатого вала n, об/мин	800	2500	4500	4800
Эффективная мощность я Ne, кВт	7,2	21,5	30,2	29,9
Эффективный крутящий момент Мкр, Нм	86	82	64	59,6
Часовой расход топлива Gт, кг/ч	1,84	5,6	9	9,4
Угловая скорость вращения коленчатого вала силового				
агрегата, рад/с	83,73	261,667	471	502,4

## Расчет динамической характеристики автомобиля

Полная снаряженная масса автомобиля	1050			
Радиус колеса, м	0,32			
Скорость автомобиля (1-я передача), м/с	1,78	5,56	10,00	10,67
Скорость автомобиля (2-я передача), м/с	3,37	10,55	18,98	20,25
Скорость автомобиля (3-я передача), м/с	4,84	15,12	27,22	29,03
Скорость автомобиля (4-я передача), м/с	6,58	20,56	37,01	39,48
Скорость автомобиля (5-я передача), м/с	8,02	25,08	45,14	48,15
Тяговая сила на ведущих колесах (1-я передача), Н	3644,19	3474,69	2711,96	2525,51
Тяговая сила на ведущих колесах (2-я передача), Н	1920,59	1831,26	1429,27	1331,01
Тяговая сила на ведущих колесах (3-я передача), Н	1339,49	1277,18	996,83	928,29
Тяговая сила на ведущих колесах (4-я передача), Н	984,92	939,11	732,96	682,57
Тяговая сила на ведущих колесах (5-я передача), Н	807,63	770,07	601,03	559,71

Максимальное значение тяговой силы по сцеплению колес с дорогой, H	3965,69			
Сила сопротивления качению, Н	154,51			
Площадь лобовой поверхности, м2	2,15			
Сила сопротивления воздуха (1-я передача), Н	2,04	19,91	64,52	73,41
Сила сопротивления воздуха (2-я передача), Н	7,34	71,69	232,29	264,29
Сила сопротивления воздуха (3-я передача), Н	15,09	147,39	477,55	543,34
Сила сопротивления воздуха (4-я передача), Н	27,92	272,61	883,27	1004,97
Сила сопротивления воздуха (5-я передача), Н	41,52	405,44	1313,61	1494,60
Скорость автомобиля (1-я передача), км/ч	6,40	20,01	36,01	38,41
Скорость автомобиля (2-я передача), км/ч	12,15	37,96	68,33	72,89
Скорость автомобиля (3-я передача), км/ч	17,42	54,43	97,98	104,51
Скорость автомобиля (4-я передача), км/ч	23,69	74,03	133,25	142,13
Скорость автомобиля (5-я передача), км/ч	28,89	90,28	162,50	173,33
Динамический фактор				
1 - я передача	0,35	0,33	0,25	0,24
2 - я передача	0,18	0,17	0,13	0,12
3 - я передача	0,13	0,12	0,09	0,08

4 - я передача	0,09	0,08	0,06	0,05
5 - я передача	0,07	0,06	0,04	0,04
Мощность (1-я передача), кВт	6,48	19,31	27,13	26,95
Мощность (2-я передача), кВт	6,48	19,31	27,13	26,95
Мощность (3-я передача), кВт	6,48	19,31	27,13	26,95
Мощность (4-я передача), кВт	6,48	19,31	27,13	26,95
Мощность (5-я передача), кВт	6,48	19,31	27,13	26,95
Мощность сопротивления воздуха (1-я передача), кВт	0,00	0,11	0,65	0,78
Мощность сопротивления воздуха (2-я передача), кВт	0,02	0,76	4,41	5,35
Мощность сопротивления воздуха (3-я передача), кВт	0,07	2,23	13,00	15,77
Мощность сопротивления воздуха (4-я передача), кВт	0,18	5,61	32,69	39,68
Мощность сопротивления воздуха (5-я передача), кВт	0,33	10,17	59,29	71,96
Мощность сопротивления качения (1-я передача), кВт	0,27	0,86	1,56	1,66
Мощность сопротивления качения (2-я передача), кВт	0,52	1,64	3,00	3,21
Мощность сопротивления качения (3-я передача), кВт	0,75	2,37	4,41	4,73
Мощность сопротивления качения (4-я передача), кВт	1,02	3,26	6,23	6,72
Мощность сопротивления качения (5-я передача), кВт	1,25	4,03	7,90	8,56
(Nф + Nв) 1-я передача, кВт	0,28	0,97	2,20	2,44

(Nф + Nв) 2-я передача, кВт	0,55	2,40	7,41	8,56
(Nф + Nв) 3-я передача, кВт	0,82	4,60	17,40	20,50
$(N\phi + N_B)$ 4-я передача, к $B_T$	1,20	8,87	38,92	46,39
(Nф + Nв) 5-я передача, кВт	1,58	14,20	67,19	80,52

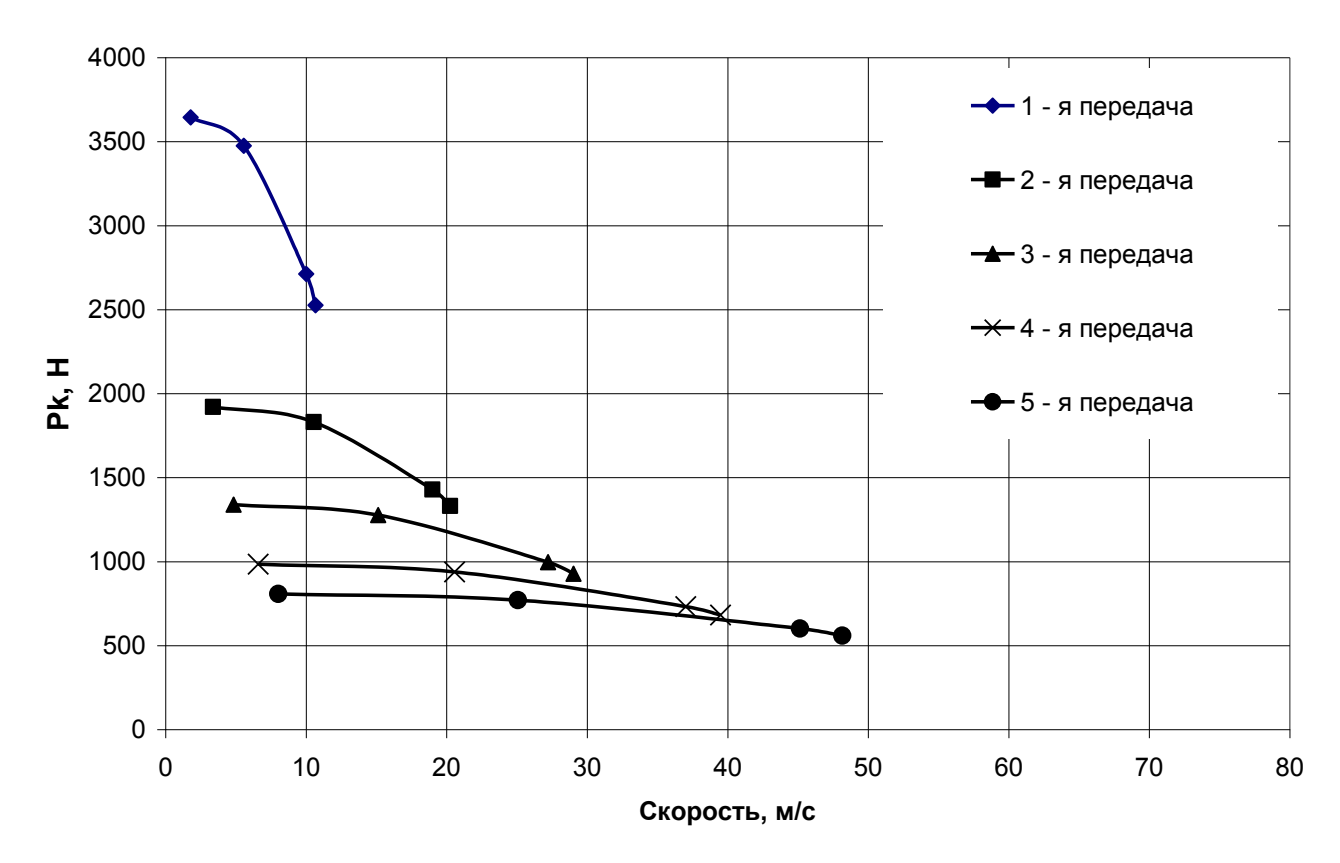


Рисунок А1 - Тяговая сила на ведущих колесах газодизельного автомобиля

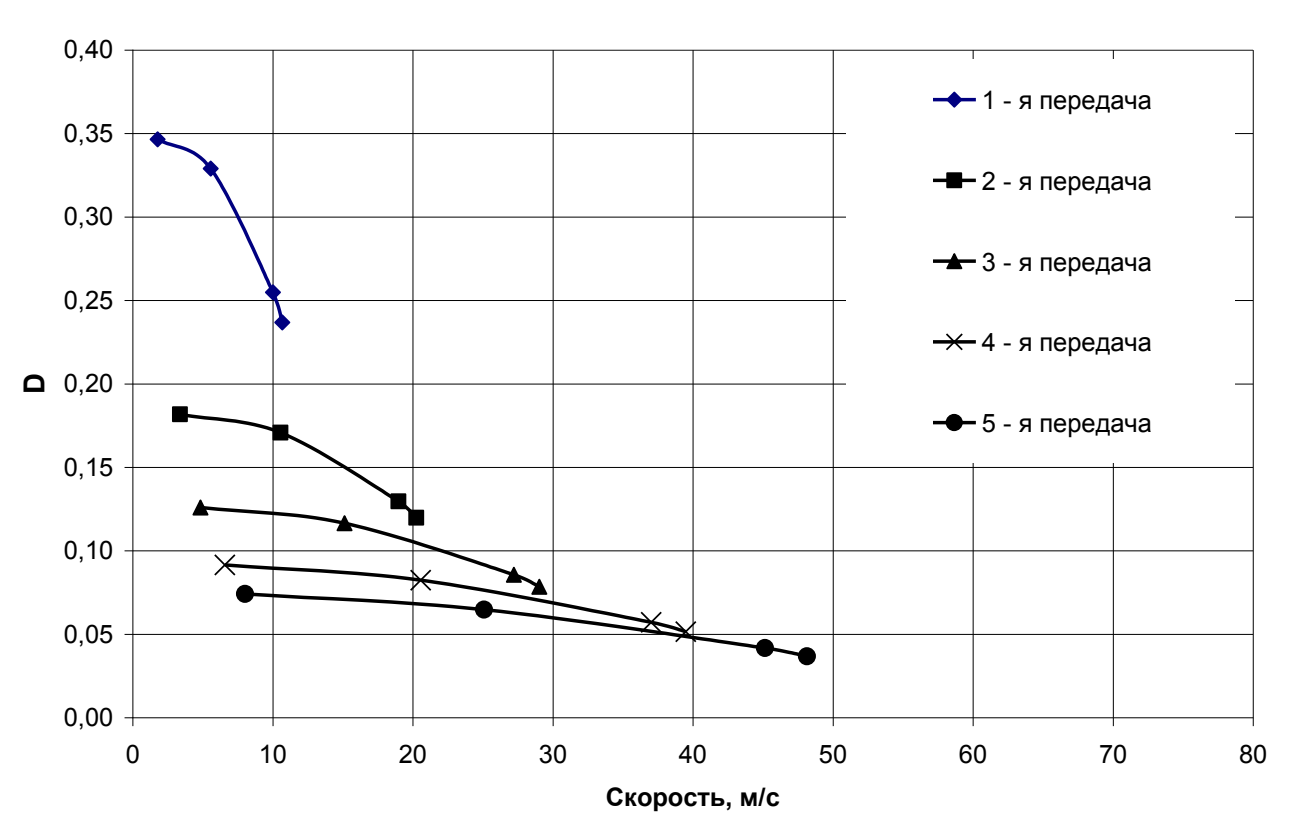


Рисунок А2 - Динамический фактор газодизельного автомобиля

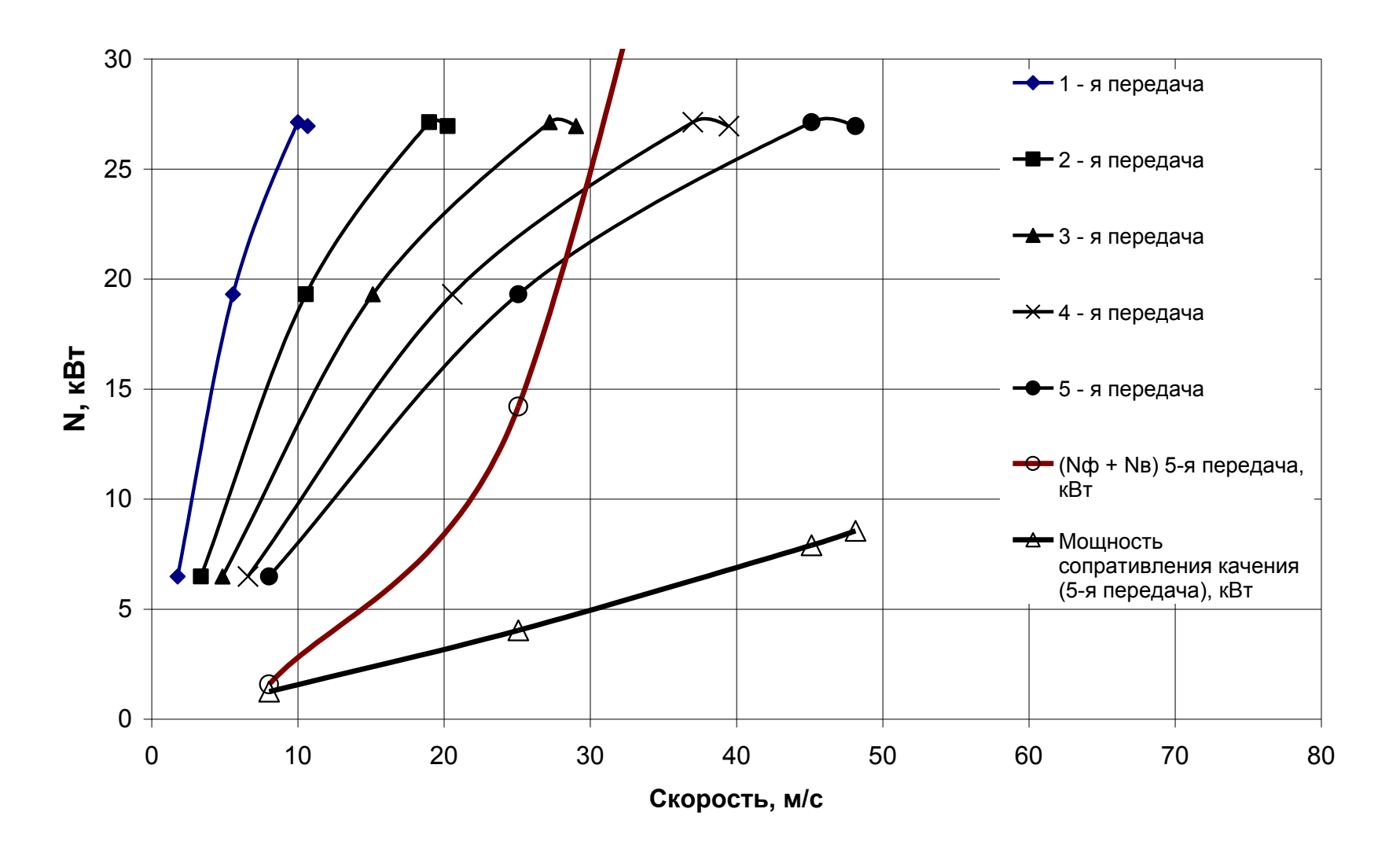


Рисунок А2 - Мощностной баланс газодизельного автомобиля

### Тяговый расчет дизельного автомобиля

Исходные данные:	
Марка автомобиля	Сержант
Тип привода	Полноприв.
Полная масса, т, кг	900
Передаточные числа:	
коробки передач	
U1	3,7
U2	1,95
U3	1,36
U4	1
U5	0,82
главной передачи	4,1
Габаритные размеры:	
ширина В, м	1,68
высота Н, м	1,64
Тип и размер шин	16
Коэф. перераспределения веса на ведущие колеса λ	1
Коэф. деформации шин $\Delta$	0,15
Коэф. сопротивления воздуха К,	0,3
Условия эксплуатации:	
Горизонтальный участок дороги	
с асфальтобетонным покрытием:	
коэф. сопротивления качению, f	0,015
коэф. сцепления, ф	0,7
Количество посадочных мест	2
КПД трансмиссии	0,9

Характеристики силового агрегата

Частота вращения коленчатого вала п, об/мин	800	2500	4500	4800
Эффективная мощность я Ne, кВт	13	27	37	39
Эффективный крутящий момент Мкр, Нм	87	92	84	71
Часовой расход топлива Ст, кг/ч	1,84	5,6	9	9,4
Угловая скорость вращения коленчатого вала силового				
агрегата, рад/с	83,73	261,667	471	502,4

## Расчет динамической характеристики автомобиля

Полная снаряженная масса автомобиля	1050			
Радиус колеса, м	0,32			
Скорость автомобиля (1-я передача), м/с	1,78	5,56	10,00	10,67
Скорость автомобиля (2-я передача), м/с	3,37	10,55	18,98	20,25
Скорость автомобиля (3-я передача), м/с	4,84	15,12	27,22	29,03
Скорость автомобиля (4-я передача), м/с	6,58	20,56	37,01	39,48
Скорость автомобиля (5-я передача), м/с	8,02	25,08	45,14	48,15
				1
Тяговая сила на ведущих колесах (1-я передача), Н	3686,56	3898,44	3559,44	3008,58
Тяговая сила на ведущих колесах (2-я передача), Н	1942,92	2054,58	1875,92	1585,60
Тяговая сила на ведущих колесах (3-я передача), Н	1355,06	1432,94	1308,34	1105,85
Тяговая сила на ведущих колесах (4-я передача), Н	996,37	1053,63	962,01	813,13
Тяговая сила на ведущих колесах (5-я передача), Н	817,02	863,98	788,85	666,77

Максимальное значение тяговой силы по сцеплению колес с				
дорогой, Н	3965,69			
Сила сопротивления качению, Н	154,51			
Площадь лобовой поверхности, м2	2,15			
Сила сопротивления воздуха (1-я передача), Н	2,04	19,91	64,52	73,41
Сила сопротивления воздуха (2-я передача), Н	7,34	71,69	232,29	264,29
Сила сопротивления воздуха (3-я передача), Н	15,09	147,39	477,55	543,34
Сила сопротивления воздуха (4-я передача), Н	27,92	272,61	883,27	1004,97
Сила сопротивления воздуха (5-я передача), Н	41,52	405,44	1313,61	1494,60
Скорость автомобиля (1-я передача), км/ч	6,40	20,01	36,01	38,41
Скорость автомобиля (2-я передача), км/ч	12,15	37,96	68,33	72,89
Скорость автомобиля (3-я передача), км/ч	17,42	54,43	97,98	104,51
Скорость автомобиля (4-я передача), км/ч	23,69	74,03	133,25	142,13
Скорость автомобиля (5-я передача), км/ч	28,89	90,28	162,50	173,33
Динамический фактор				
1 - я передача	0,35	0,37	0,34	0,28
2 - я передача	0,18	0,19	0,17	0,14
3 - я передача	0,13	0,13	0,12	0,10

		T .	T	
4 - я передача	0,09	0,09	0,08	0,06
5 - я передача	0,08	0,07	0,06	0,05
Мощность (1-я передача), кВт	6,56	21,67	35,61	32,10
Мощность (2-я передача), кВт	6,56	21,67	35,61	32,10
Мощность (3-я передача), кВт	6,56	21,67	35,61	32,10
Мощность (4-я передача), кВт	6,56	21,67	35,61	32,10
Мощность (5-я передача), кВт	6,56	21,67	35,61	32,10
Мощность сопротивления воздуха (1-я передача), кВт	0,00	0,11	0,65	0,78
Мощность сопротивления воздуха (2-я передача), кВт	0,02	0,76	4,41	5,35
Мощность сопротивления воздуха (3-я передача), кВт	0,07	2,23	13,00	15,77
Мощность сопротивления воздуха (4-я передача), кВт	0,18	5,61	32,69	39,68
Мощность сопротивления воздуха (5-я передача), кВт	0,33	10,17	59,29	71,96
Мощность сопротивления качения (1-я передача), кВт	0,27	0,86	1,56	1,66
Мощность сопротивления качения (2-я передача), кВт	0,52	1,64	3,00	3,21
Мощность сопротивления качения (3-я передача), кВт	0,75	2,37	4,41	4,73
Мощность сопротивления качения (4-я передача), кВт	1,02	3,26	6,23	6,72
Мощность сопротивления качения (5-я передача), кВт	1,25	4,03	7,90	8,56

(Nф + Nв) 1-я передача, кВт	0,28	0,97	2,20	2,44
(Nф + Nв) 2-я передача, кВт	0,55	2,40	7,41	8,56
(Nф + Nв) 3-я передача, кВт	0,82	4,60	17,40	20,50
(Nф + Nв) 4-я передача, кВт	1,20	8,87	38,92	46,39
(Nф + Nв) 5-я передача, кВт	1,58	14,20	67,19	80,52

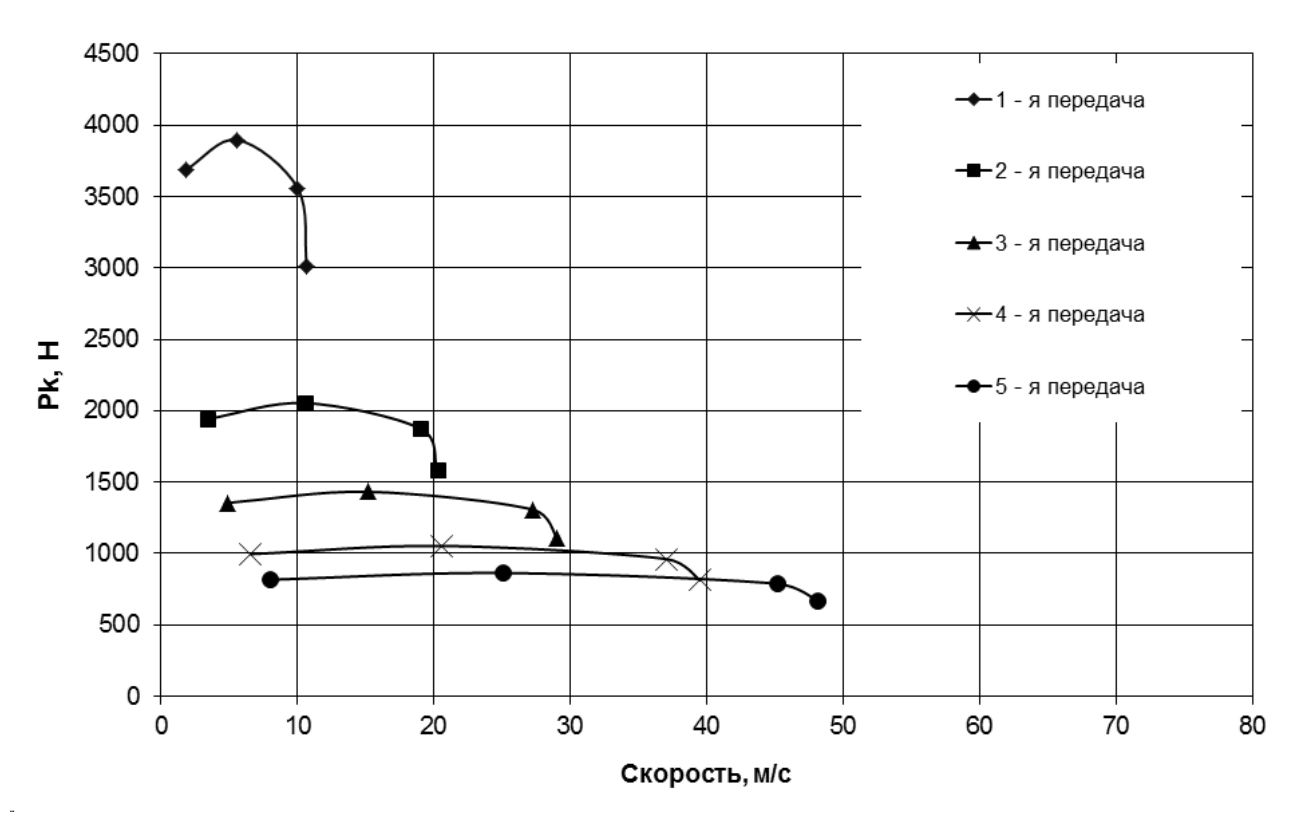


Рисунок А4 - Тяговая сила на ведущих колесах дизельного автомобиля

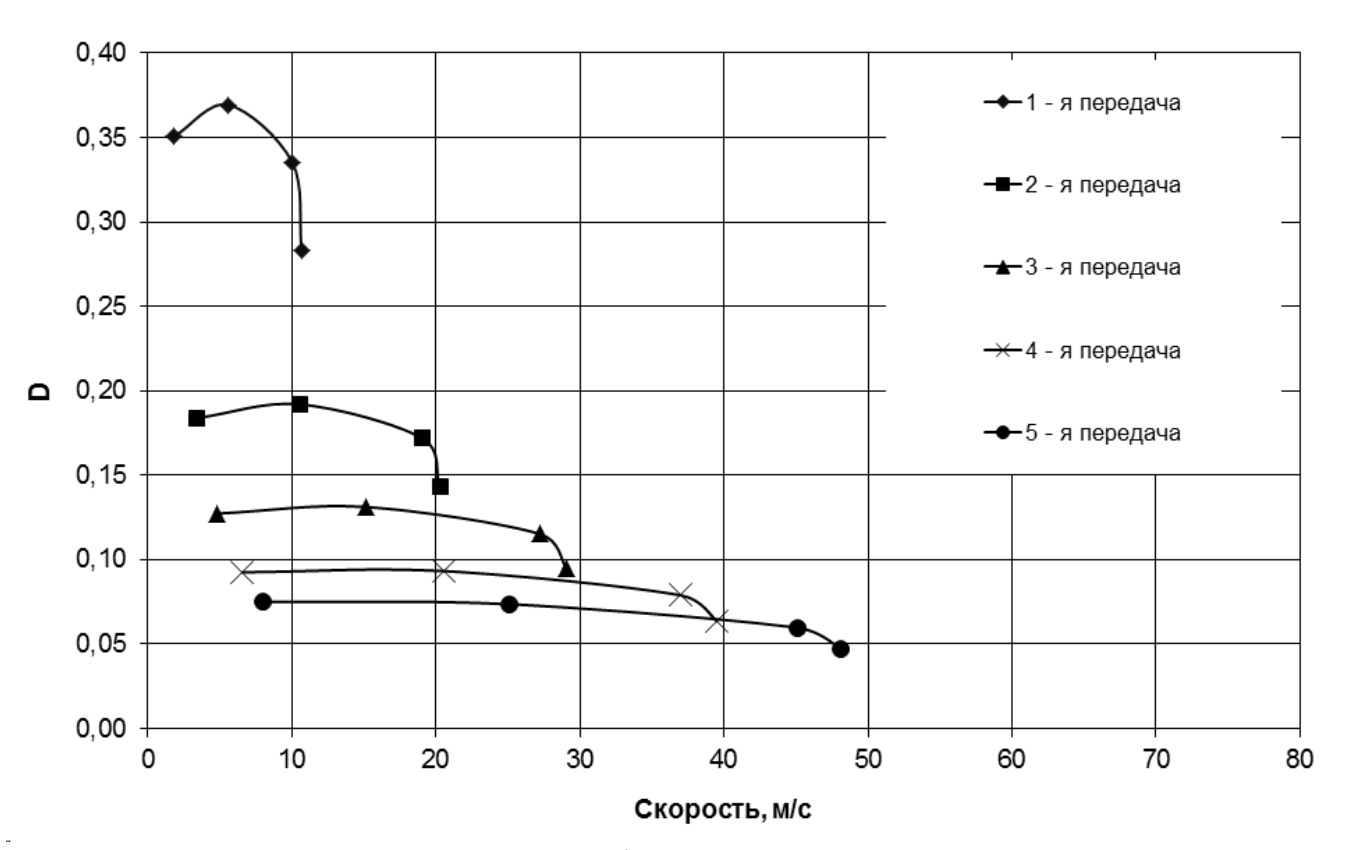


Рисунок А5 - Динамический фактор дизельного автомобиля

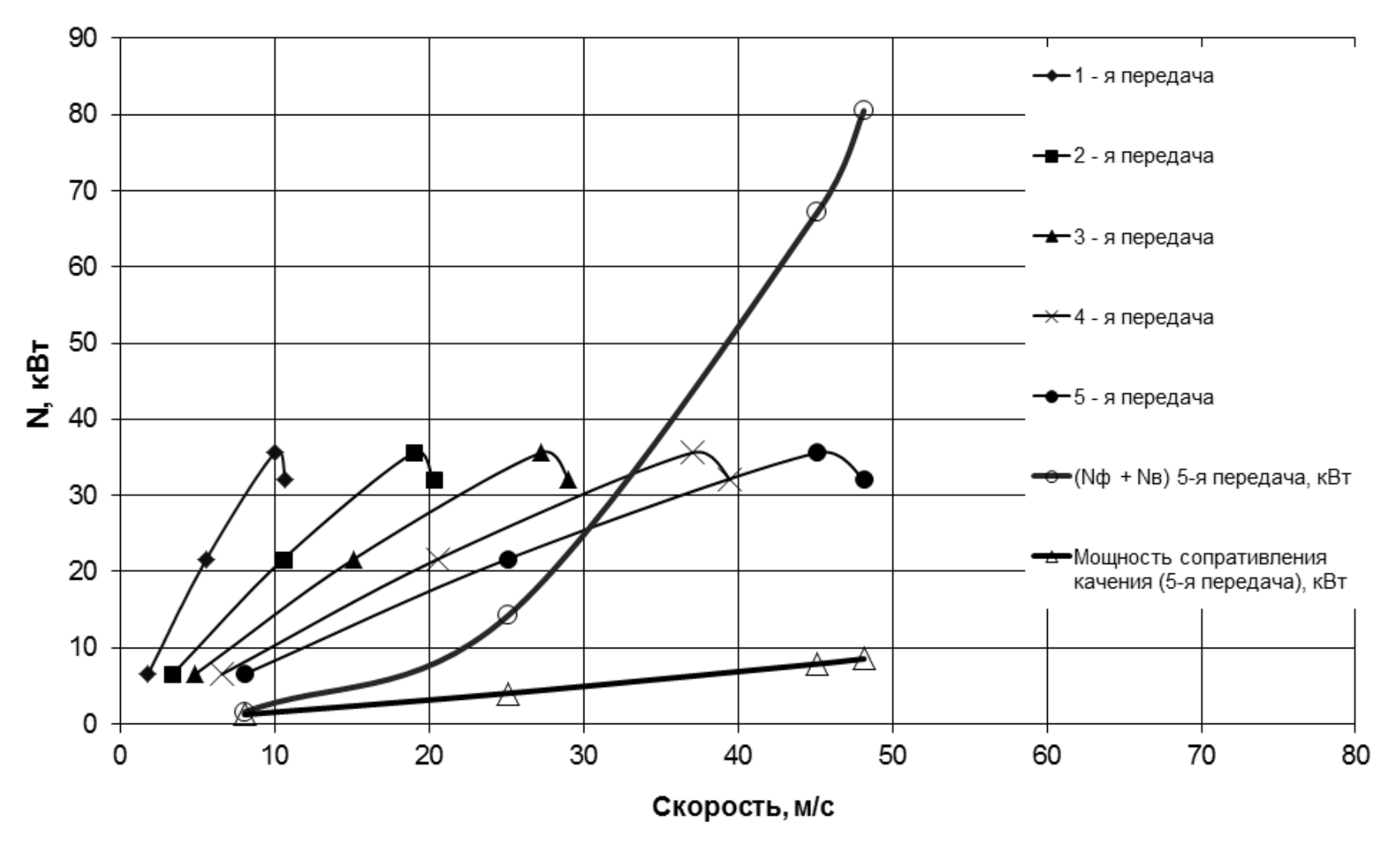


Рисунок А6 - Мощностной баланс дизельного автомобиля